



รายงานฉบับสมบูรณ์

การผลิตถ่านชีวภาพจากวัสดุเหลือใช้ทางการเกษตร
Production of Biocoke from Agricultural Residues

ผศ.ดร. จินตวัฒน์ ไชยชนะวงศ์

Asst. Prof. Jintawat Chaichanawong, D.Eng.

TNI
คณะวิศวกรรมศาสตร์
สถาบันเทคโนโลยีไทย-ญี่ปุ่น
พ.ศ. 2559

THAI - NICH

INSTITUTE OF TECHNOLOGY

บทสรุปผู้บริหาร

งานวิจัยนี้เป็นการศึกษาการผลิตถ่านชีวภาพจากวัสดุเหลือใช้ทางการเกษตร โดยทำการผลิตถ่านชีวภาพ (BioCoke) จากกาแฟแท้ ซึ่งเป็นเศษวัสดุเหลือใช้ทางการเกษตรที่พบมากในประเทศไทย เพื่อศึกษาปัจจัยในการผลิตที่ส่งผลกระทบต่อ คุณสมบัติทางกายภาพ (ความหนาแน่นรวม) คุณสมบัติทางความร้อน (ค่าความร้อน) คุณสมบัติทางกล (ความต้านทานแรงอัดสูงสุด) วิเคราะห์โครงสร้างรูปแบบของถ่านชีวภาพจากการผลิต ด้วยเครื่องจุลทรรศน์อิเล็กตรอนแบบส่องร้าด โดยกำหนดเงื่อนไขการผลิต ได้แก่ เวลาที่ใช้ในการผลิต คือ 10 15 และ 20 นาที ความดันที่ใช้ในการผลิต คือ 10 12 14 และ 16 MPa และอุณหภูมิที่ใช้ในการผลิต คือ 150 160 170 180 และ 190 °C เป็นตัวแปรต้น รวม 60 ตัวอย่าง

จากการศึกษาปัจจัยที่ส่งผลกระทบต่อคุณสมบัติของถ่านชีวภาพ พบร่วงปัจจัย อุณหภูมิการผลิต และ ความดันการผลิต ส่งผลกระทบต่อคุณสมบัติทางกายภาพ (ความหนาแน่นรวม) และ คุณสมบัติทางกล (ความต้านทานแรงอัดสูงสุด) ในทางบวกอย่างชัดเจน คือเมื่อถ่านชีวภาพมีความหนาแน่นรวมสูงจะมีค่าความต้านทานแรงอัดสูงสุดสูงตามไปด้วย โดยปัจจัยที่ส่งผลกระทบต่อค่าความร้อนของถ่านชีวภาพ คือ ความดันและเวลาที่ใช้ในการผลิต หากความดันในการผลิตเพิ่มขึ้นจะทำให้ค่าความร้อนของถ่านชีวภาพลดลง แต่ค่าความร้อนจะมีค่าสูงขึ้นเมื่อเวลาในการผลิตมากขึ้น แต่ปัจจัยทั้งสองที่กล่าวมานี้ส่งผลเพียงเล็กน้อยต่อค่าความร้อนของถ่านชีวภาพจากการผลิต นอกเหนือนี้ยังพบร่วงปัจจัยที่ส่งผลกระทบต่อค่าความต้านทานแรงอัดสูงสุด คือ อุณหภูมิ ความดันและเวลาที่ใช้ในการผลิตตามลำดับ โดยทั้งสามปัจจัยการผลิตนี้ส่งผลในเชิงบวกต่อค่าความต้านทานแรงอัดสูงสุด ถ่านชีวภาพจากการผลิตจะมีค่าความต้านทานแรงอัดสูงสุดมากหากใช้อุณหภูมิและความดันสูงในการผลิต ในการนี้ของเวลาที่ใช้ในการผลิตจะส่งผลเพียงเล็กน้อยต่อค่าความต้านทานแรงกดสูงสุด

สภาวะการผลิตที่เหมาะสมที่สุดที่ได้จากการวิจัยนี้ คือ อุณหภูมิการผลิต 190 °C ความดัน 16 MPa เวลา 10 นาที เนื่องจากสภาวะการผลิตดังกล่าวมีค่าความหนาแน่นและค่าความต้านทานแรงอัดสูงสุดของถ่านโค้กอย่างมาก และมีค่าความร้อนใกล้เคียงกับสภาวะการผลิตอื่นๆ ดังนั้นจึงพิจารณาที่เวลาที่ใช้ในการผลิต ซึ่งหากนำไปต่อยอดการผลิตในปริมาณมาก เวลาในการผลิตเป็นปัจจัยสำคัญที่จะส่งผลต่อต้นทุนในการผลิต

กิตติกรรมประกาศ

โครงการวิจัยนี้สำเร็จได้ ข้าพเจ้าขอกราบขอบพระคุณ Prof. Tamio Ida (Kinki University) และ Mr. Hirotoshi Murata (Naniwa Roki Co., Ltd.) ที่ให้คำแนะนำ และคอยช่วยเหลือในระหว่างการทำวิจัย ตลอดจนได้ให้ความกรุณาอนุเคราะห์อุปกรณ์การวิจัยสำหรับใช้ในการทำงานวิจัย จนโครงการวิจัยนี้เสร็จสมบูรณ์

ขอขอบพระคุณบริษัทอินเตอร์ คลินส์ อินดัสตรีส์ จำกัด ที่ให้ความอนุเคราะห์ในการซ่อมบำรุงเทาแบบเบบห่อสำหรับใช้ในการทำงานวิจัยนี้

ขอขอบคุณ นางสาวสุพิชญา เชิดเกียรติกุล นายมหறลพ พึกขาว นางสาวสิรี บุรากรณ์พงศ์ และ นางสาวปั่นทิพย์ ปั่นทิพย์ ศุภชุติกุล (ผู้ช่วยวิจัยประจำโครงการ) นายภีรเดช สายเสริมศักดิ์ (นักศึกษาปริญญาตรี หลักสูตรวิศวกรรมการยานยนต์ คณะวิศวกรรมศาสตร์ สถาบันเทคโนโลยีไทย-ญี่ปุ่น) ที่ร่วมทำงานวิจัยในโครงการนี้สำเร็จ

หากเกิดความผิดพลาดใดในงานวิจัย ข้าพเจ้าขอน้อมรับไว้ ณ ที่นี่ และข้าพเจ้ายินดีที่จะนำข้อเสนอแนะไปใช้ประกอบการศึกษาค้นคว้าและพัฒนาเพื่อเป็นประโยชน์ต่อไปในอนาคต

ผศ.ดร. จินตวัฒน์ ไชยชนะวงศ์
หัวหน้าโครงการวิจัย

THAI - NICHIBAN INSTITUTE OF TECHNOLOGY

สารบัญ

	หน้า
บทสรุปผู้บริหาร	i
กิตติกรรมประกาศ	ii
สารบัญ	iii
สารบัญตาราง	v
สารบัญรูป	vi
 บทที่	
1 บทนำ	1
1.1 ความเป็นมาแนวทางเหตุผลและปัญหา	1
1.2 วัตถุประสงค์ของการศึกษา	8
1.3 ขอบเขตของการศึกษา	8
1.4 ประโยชน์ที่คาดว่าจะได้รับ	8
2 ทฤษฎีและงานวิจัยที่เกี่ยวข้อง	9
2.1 ทฤษฎีที่เกี่ยวข้อง	9
2.2 หลักการวิเคราะห์ที่เกี่ยวข้อง	18
2.3 งานการวิจัยที่เกี่ยวข้อง	21
3 วิธีการดำเนินงานวิจัย	25
3.1 กำหนดขอบเขตงานวิจัย	25
3.2 การจัดหาวัสดุดิบ	30
3.3 การเตรียมวัสดุดิบเพื่อใช้ในการทดลอง	30
3.4 การทดลอง	30
3.5 การตรวจสอบคุณสมบัติ	33

สารบัญ (ต่อ)

บทที่	หน้า
4 การวิเคราะห์ผลการวิจัย	37
4.1 สมบัติทางกายภาพของถ่านชีวภาพที่ผลิตจากกาแฟ	37
4.2 สมบัติทางความกลของถ่านชีวภาพที่ผลิตจากกาแฟ	40
4.3 สมบัติทางความร้อนของถ่านชีวภาพที่ผลิตจากกาแฟ.....	42
4.4 โครงสร้างระดับจุลภาคของถ่านชีวภาพผลิตจากกาแฟ.....	44
4.5 สรุป	47
5 สรุปผลการวิจัย	49
5.1 สรุปผลการวิจัย.....	49
5.2 แนวทางการทำวิจัยต่อเนื่อง	50
 บรรณานุกรม	51
ภาคผนวก	56
ผลงานตีพิมพ์.....	56

สารบัญตาราง

ตาราง	หน้า
1.1 ความต้องการการใช้พลังงานหลักของประเทศไทยในกลุ่มอาเซียนตั้งแต่ปี ค.ศ. 1990 ถึงปัจจุบันและการคาดการณ์จนถึง ค.ศ. 2035	2
1.2 การใช้พลังงานขั้นสุดท้ายจำแนกตามชนิดพลังงาน.....	4
1.3 สถิติการการใช้พลังงานทดแทนของประเทศไทยระหว่าง ค.ศ. 2011 – 2013.....	5
1.4 แผนผลิตไฟฟ้าจากพลังงานทดแทนและพลังงานทางเลือกของประเทศไทย	6
1.5 กำลังการผลิตไฟฟ้าจากพลังงานทดแทน ค.ศ. 2013.....	6
1.6 การใช้พลังงานความร้อนจากพลังงานทดแทน.....	6
2.1 ส่วนประกอบทางเคมีของกาแฟ (Used Coffee Ground).....	11
2.2 ส่วนประกอบลิกโนเซลลูโลสของพืชพลังงาน	13
2.3 ตารางค่าความร้อนวัสดุเหลือใช้ทางการเกษตรในไทย	14
2.4 สมบัติของถ่านโค้กแต่ละชนิด	16
2.5 งานวิจัยที่เกี่ยวข้องกับการงานวิจัยถ่านชีวภาพ	24
3.1 ตารางการทดลองที่สภาวะการผลิตต่างๆ	27
4.1 การเปรียบเทียบสมบัติของถ่านชีวภาพ	48

สารบัญรูป

รูป		หน้า
1.1	กราฟแสดงปริมาณการบริโภคพลังงานหลักทั่วโลกตั้งแต่ปี ค.ศ. 1965 ถึงปัจจุบัน และการคาดการณ์จนถึงปี ค.ศ. 2035	1
1.2	การใช้พลังงานขั้นสุดท้ายและพลังงานทดแทนขั้นสุดท้าย ค.ศ. 2013	4
2.1	เครื่องผลิตถ่านชีวภาพด้วยการอัดแนวตั้งก่อนติดตั้งระบบอัดและยีตเตอร์	9
2.2	ภาพจำลองเครื่องผลิตถ่านชีวภาพโดยการอัดในแนวตั้ง	10
2.3	เครื่องผลิตถ่านชีวภาพโดยการอัดในแนวอน	10
2.4	โครงสร้างของลิกไนเซลลูโลส	12
2.5	ไม้เลกุลของเพกทิน บริเวณผนังเซลล์ของพืช	12
2.6	ชีมวลอัดเม็ด (Wood Pellet)	14
2.7	เครื่องผลิตก๊าซเชื้อเพลิงจากขยะชุมชนในประเทศไทย	15
2.8	ถ่านโคก	16
2.9	เตา Cupola Furnace	17
2.10	ภาพจำลองของมั่ปแคลอริมิเตอร์	18
2.11	ความสัมพันธ์ระหว่างความเค็นและความเครียด	20
3.1	แผนผังการดำเนินงาน	25
3.2	ภาพวัตถุดิบก่อนนำเข้าตู้อบ	30
3.3	แผนผังขั้นตอนการผลิตถ่านชีวภาพจากกาแฟ	31
3.4	ภาพถ่ายเครื่องผลิตถ่านชีวภาพโดยการอัดในแนวตั้งก่อนติดตั้งระบบอัด และยีตเตอร์ไฟฟ้า	32
3.5	ภาพตัดขวางแสดงรายละเอียดของเครื่องผลิตถ่านชีวภาพโดยการอัดในแนวตั้ง	32
3.6	ภาพถ่าย Bomb Calorimeter Parr รุ่น Model 1341 และ RTD Band 3 Pt-100	35
3.7	ภาพถ่าย EL36-4145/01 ADR Auto 2000/250 EN Compression Machine	35
3.8	ภาพถ่าย เครื่อง EVO MA10 Versatile Multipurpose SEM	36
4.1	ลักษณะของถ่านชีวภาพที่ผลิตจากการกาแฟ ที่ เวลา 15 นาที ความดัน 16 MPa อุณหภูมิ 180 °C	37

สารบัญรูป (ต่อ)

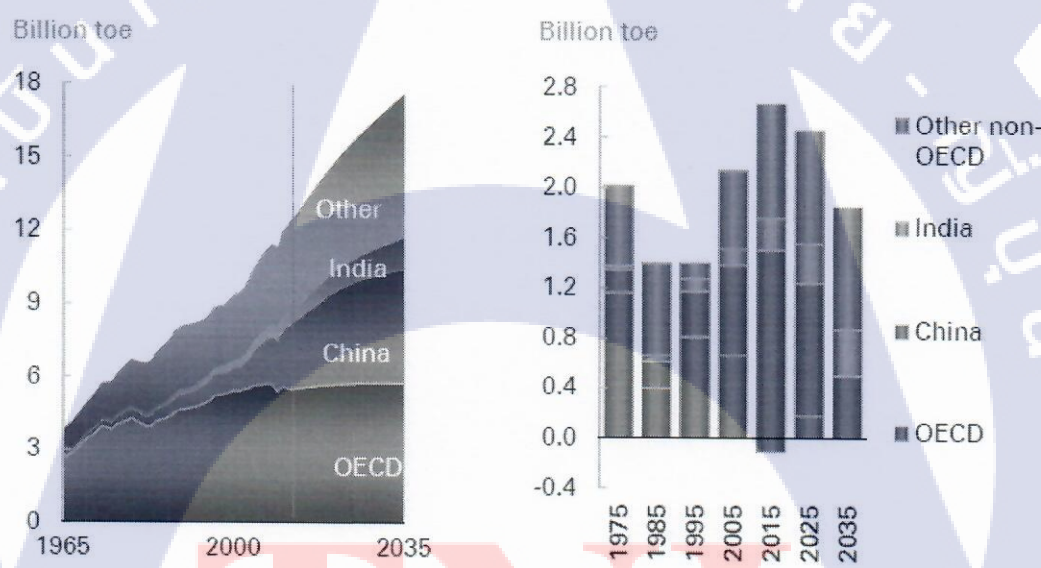
รูป	หน้า
4.2 ความสัมพันธ์ระหว่างค่าความหนาแน่นรวมของถ่านขี้วัวพที่ผลิตจากการก้าแฟและอุณหภูมิที่ใช้ในการผลิต ที่ความดัน 10 12 14 และ 16 MPa เวลา 10 นาที	38
4.3 ความสัมพันธ์ระหว่างค่าความหนาแน่นรวมของถ่านขี้วัวพที่ผลิตจากการก้าแฟและอุณหภูมิที่ใช้ในการผลิต ที่ความดัน 10 12 14 และ 16 MPa เวลา 15 นาที	39
4.4 ความสัมพันธ์ระหว่างค่าความหนาแน่นรวมของถ่านขี้วัวพที่ผลิตจากการก้าแฟและอุณหภูมิที่ใช้ในการผลิต ที่ความดัน 10 12 14 และ 16 MPa เวลา 20 นาที	39
4.5 ความสัมพันธ์ระหว่างความต้านทานแรงอัดสูงสุด (MPa) และอุณหภูมิที่ใช้ในการผลิต ที่ความดัน 10 12 14 และ 16 MPa เวลา 10 นาที	40
4.6 ความสัมพันธ์ระหว่างความต้านทานแรงอัดสูงสุด (MPa) และอุณหภูมิที่ใช้ในการผลิต ที่ความดัน 10 12 14 และ 16 MPa เวลา 15 นาที	41
4.7 ความสัมพันธ์ระหว่างความต้านทานแรงอัดสูงสุด (MPa) และอุณหภูมิที่ใช้ในการผลิต ที่ความดัน 10 12 14 และ 16 MPa เวลา 20 นาที	41
4.8 ความสัมพันธ์ระหว่างค่าความร้อนและ อุณหภูมิที่ใช้ในการผลิต ที่ความดัน 10 12 14 และ 16 MPa เวลา 10 นาที	42
4.9 ความสัมพันธ์ระหว่างค่าความร้อนและ อุณหภูมิที่ใช้ในการผลิต ที่ความดัน 10 12 14 และ 16 MPa เวลา 15 นาที	43
4.10 ความสัมพันธ์ระหว่างค่าความร้อนและ อุณหภูมิที่ใช้ในการผลิต ที่ความดัน 10 12 14 และ 16 MPa เวลา 10 นาที	43
4.11 การเปรียบเทียบค่าความร้อนของชีมวลชนิดต่างๆ ที่ใช้ในประเทศไทย.....	44
4.12 ลักษณะพื้นผิวที่กำลังขยาย 500 เท่า ที่เงื่อนไขการผลิต เวลา 20 นาที ความดัน 16 MPa อุณหภูมิ 180 °C.....	45
4.13 ลักษณะพื้นผิวของถ่านขี้วัวพที่กำลังขยาย 500 เท่า เวลา 10 นาที อุณหภูมิ 180 °C ...	45
4.14 ลักษณะพื้นผิวของถ่านขี้วัวพที่กำลังขยาย 500 เท่า เวลา 15 นาที ความดัน 16 MPa .	47

บทที่ 1

บทนำ

1.1 ความเป็นมาและความสำคัญของปัญหา

การพัฒนาทางด้านเศรษฐกิจ สังคม และเทคโนโลยีทั่วโลก ส่งผลโดยตรงต่ออัตราการเพิ่มขึ้นของการใช้พลังงานโดยเฉพาะพลังงานจากเชื้อเพลิงที่ใช้แล้วหมดไป เช่น น้ำมัน ก๊าซ และถ่านหิน เพื่อนำมาใช้ในอุตสาหกรรมผลิตกระเบื้องไฟฟ้า อุตสาหกรรม การขนส่งสินค้า ครัวเรือนฯลฯ ปัจจุบันจึงได้มีการพัฒนาพลังงานทดแทนเพื่อนำมาใช้ทดแทนเชื้อเพลิงดังกล่าว เช่น พลังงานแสงอาทิตย์ (Solar Energy) พลังงานลม (Wind Energy) พลังงานความร้อนใต้พิภพ (Geothermal Energy) พลังงานน้ำ (Hydroelectric Energy) และชีวมวล (Biomass)



รูปที่ 1.1 การบริโภคพลังงานหลักทั่วโลกตั้งแต่ปี ค.ศ. 1965 ถึงปัจจุบันและการคาดการณ์จนถึง

ค.ศ. 2035 [1]

BP Public Limited Company ได้รายงานแนวโน้มพลังงานโลก [1] ซึ่งความต้องการพลังงานหลักของโลกมีแนวโน้มเพิ่มขึ้น 41% ในช่วง ค.ศ. 2012-2035 แสดงใน รูปที่ 1.1 โดยประมาณการอัตราการขยายตัวเฉลี่ยของการใช้พลังงานในช่วง ค.ศ. 2005-2015 ประมาณ 1.5% ต่อปี ค.ศ. 2015-2025 ประมาณ 1.7% ต่อปี และ ค.ศ. 2025-2035 ประมาณ 1.1% ต่อปี

ตารางที่ 1.1 แสดงปริมาณความต้องการการใช้พลังงานหลักของประเทศในกลุ่маเซียนตั้งแต่ปี ค.ศ. 1990 ถึงปัจจุบันและการคาดการณ์จนถึง ค.ศ. 2035 (Mtoe) ประเทศที่อยู่ในองค์กรความร่วมมือและพัฒนาทางด้านเศรษฐกิจ (Organization for Economic Cooperation and Development : OECD) มีแนวโน้มอัตราการใช้พลังงานที่ค่อนข้างคงที่ในช่วง ค.ศ. 2012-2030 โดยมีอัตราการขยายตัวเพียงแค่ 0.2% ต่อปี และมีแนวโน้มจะลดลงในตั้งแต่ ค.ศ. 2030 เป็นต้นไป ในทางตรงกันข้ามประเทศที่ไม่ใช่สมาชิกองค์กรความร่วมมือและพัฒนาทางด้านเศรษฐกิจ (Non-OECD) มีอัตราการขยายตัว 2.3% ต่อปี

ตารางที่ 1.1 ความต้องการการใช้พลังงานหลักของประเทศในกลุ่มาเซียนตั้งแต่ปี ค.ศ. 1990 ถึงปัจจุบันและการคาดการณ์จนถึง ค.ศ. 2035 (Mtoe) [2]

Country	Year					
	1990	2011	2020	2025	2035	2011-2035
Indonesia	89	196	252	282	358	2.50%
Malaysia	21	74	96	106	128	2.35%
Philippines	29	40	58	69	92	3.50%
Thailand	42	118	151	168	206	2.30%
Rest of ASEAN	42	119	161	178	221	2.60%
Total ASEAN	223	549	718	804	1004	2.50%

ประเทศในกลุ่มาเซียนซึ่งเป็นประเทศที่อยู่ในกลุ่ม Non OECD มีความต้องการการใช้พลังงานหลักที่เพิ่มขึ้น 83% ในช่วงระยะเวลาประมาณการจาก 549 ล้านตันเทียบเท่าน้ำมันดิบใน ค.ศ. 2011 เป็น 1004 ล้านตันเทียบเท่าน้ำมันดิบใน ค.ศ. 2035 อัตราการเติบโตเฉลี่ยจะลดลงจาก 3% ต่อปี เป็น 2.3% ต่อปีในช่วง ค.ศ. 2020 - 2035 โดยที่ประเทศในกลุ่มาเซียนนั้นยังคงพึ่งพาพลังงานเชื้อเพลิงจากฟอสซิลประมาณ 80%

ในประเทศไทยมีการจัดทำสถิติการใช้พลังงานของประเทศไทยใน ค.ศ. 2013 โดยกระทรวง พลังงาน พบว่าการใช้พลังงานขั้นสุดท้ายของประเทศไทยซึ่งมีประมาณ 75,000 พันตันเทียบเท่า น้ำมันดิบ (ktoe) เพิ่มขึ้นจากปีก่อนหน้า 2.6% โดยแบ่งเป็นการใช้พลังงานในเชิงพาณิชย์(น้ำมัน สำเร็จรูป ไฟฟ้า ถ่านหิน ลิกไนต์และก๊าซธรรมชาติ) พลังงานหมุนเวียน (แสงอาทิตย์ พื้น วัสดุ เหลือใช้ทางการเกษตร ขยะและก๊าซชีวภาพ) และพลังงานหมุนเวียนดั้งเดิม (ฟืน ถ่าน แกลบ และ วัสดุเหลือใช้ทางการเกษตร) [3]

แต่เนื่องจากการใช้พลังงานเชื้อเพลิงจากฟอลซิลส่งผลโดยตรงต่อปัญหามลภาวะทางอากาศ ซึ่งเป็นผลมาจากการปล่อยก๊าซคาร์บอนไดออกไซด์และคาร์บอนมอนอกไซด์ของกระบวนการเผาไหม้ เชื้อเพลิงฟอสซิล ปัญหาดังกล่าวนี้เห็นได้ชัดจากอุณหภูมิของพื้นผิวโลกที่เพิ่มขึ้นอย่างมีนัยสำคัญ ในช่วง 15 ปีที่ผ่านมา และการเพิ่มขึ้นของปริมาณคาร์บอนไดออกไซด์ในอากาศ จากรายงานของ National Oceanic and Atmospheric Administration (NOAA) พบว่าปริมาณคาร์บอนไดออกไซด์ ในอากาศเดือนมีนาคม 2015 มีค่าสูงกว่า 400 ppm (parts per million) ซึ่งสูงสุดตั้งแต่ที่ได้มีการบันทึกมา [4]

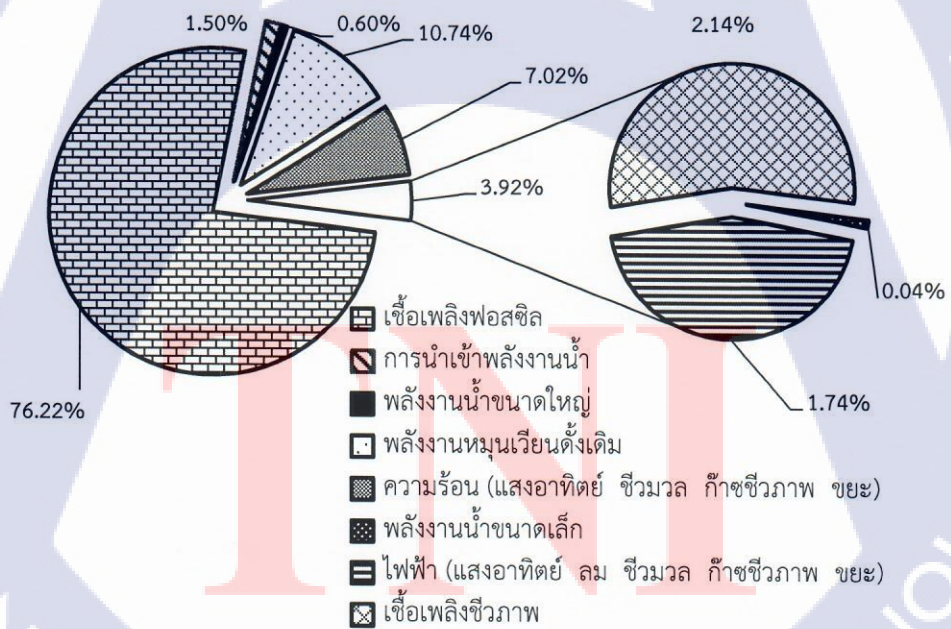
จากผลกระทบเรื่องมลพิษทางอากาศที่เกิดขึ้นจากการใช้และปัญหาการผันผวนของราคา เชื้อเพลิงฟอสซิล ภาคส่วนต่างๆทั่วโลก รวมไปถึงรัฐบาลไทยได้มีการส่งเสริมให้ภาคส่วนต่างๆ ส่งผล ให้เกิดการลงทุนด้านอุสาหกรรมที่เกี่ยวข้องกับพลังงานทดแทนมากขึ้น ซึ่งการลงทุนของภาครัฐ และเอกชนด้านพลังงานทดแทนใน ค.ศ. 2013 มีมากกว่า 70,000 ล้านบาท [5]

จากตารางที่ 1.2 จะเห็นได้ว่ามีการใช้พลังงานหมุนเวียนและพลังงานหมุนเวียนดั้งเดิมใน อัตราที่สูงขึ้นมากซึ่งสอดคล้องกับแนวทางการส่งเสริมด้านพลังงานทดแทนของภาครัฐ โดยที่ปริมาณ การใช้พลังงานหมุนเวียนและพลังงานหมุนเวียนดั้งเดิมมากกว่าปริมาณการใช้น้ำมันดิบและลิกไนต์ถึง 11,624 ktoe ในค.ศ. 2013



ตารางที่ 1.2 การใช้พลังงานขั้นสุดท้ายจำแนกตามชนิดพลังงาน [3]

การใช้พลังงานขั้นสุดท้าย (จำแนกตามชนิดพลังงาน)	ปริมาณ (ktoe)			อัตราการเปลี่ยนแปลง (%)	
	ค.ศ. 2011	ค.ศ. 2012	ค.ศ. 2013	ค.ศ. 2012	ค.ศ. 2013
การใช้พลังงานขั้นสุดท้าย(รวม)	70,143	74,639	78,077	6.4	4.6
● พลังงานเชิงพาณิชย์	48,344	52,704	52,736	9	0.1
- น้ำมันดิบ	6,859	7,444	7,363	8.5	-1.1
- ลิกไนต์	5,992	4,754	4,459	-20.7	-6.2
- ก๊าซธรรมชาติ	31,310	36,006	36,405	15	1.1
- ค่อนเดนเกส	4,183	4,500	4,509	7.6	0.2
● พลังงานหมุนเวียน	6,623	8,785	9,709	32.6	10.5
● พลังงานหมุนเวียนดั้งเดิม	14,045	11,751	13,739	-16.3	16.9
● เชื้อเพลิงชีวภาพ (เอทานอล และไบโอดีเซล)	919	1,259	1,609	37	27.8
● พลังงานอื่นๆ	212	140	284	-34	102.9



รูปที่ 1.2 การใช้พลังงานขั้นสุดท้ายและพลังงานทดแทนขั้นสุดท้าย ค.ศ. 2013 [5]

จากรูปที่ 1.2 และตารางที่ 1.3 แสดงให้เห็นว่าประเทศไทยมีการใช้พลังงานทดแทนในรูปของพลังงานความร้อนมากที่สุด ประมาณ 5,279 ktoe หรือคิดเป็น 7.02 % ของปริมาณการใช้พลังงานทดแทนใน ค.ศ. 2013

ตารางที่ 1.3 สถิติการการใช้พลังงานทดแทนของประเทศไทยระหว่าง ค.ศ. 2011 – 2013 [5]

การใช้พลังงานทดแทน	ปริมาณ			อัตราการเปลี่ยนแปลง (%)	
	(ktoe)				
	ค.ศ. 2011	ค.ศ. 2012	ค.ศ. 2013		
• ไฟฟ้า (แสงอาทิตย์ ลม น้ำ ชีวมวล ขยะ และก๊าซชีวภาพ)	372	1,138	1,341	17.8	
• ความร้อน (แสงอาทิตย์ ชีวมวล ขยะ และก๊าซชีวภาพ)	5,129	4,886	5,279	8	
• เชื้อเพลิงชีวภาพ					
- เอทานอล	331	430	707	64.4	
- ไบโอดีเซล	547	840	905	7.7	
รวม	6,379	7,294	8,232	12.8	

กรมพัฒนาพลังงานทดแทนและอนุรักษ์พลังงาน กระทรวงพลังงาน ได้มีการจัดทำแผนพัฒนาพลังงานทดแทนและพลังงานทางเลือกขึ้นเพื่อวางแผนเป้าหมายการผลิตไฟฟ้าจากพลังงานทดแทนชนิดต่างๆ ภายในปี ค.ศ. 2036 โดยมีกำลังการผลิตในปี ค.ศ. 2014 ประมาณ 7,279 MW และมีเป้าหมายการผลิตในปี ค.ศ. 2036 อยู่ที่ประมาณ 19,635 MW ซึ่งพลังงานทดแทนประเภทชีวมวลมีเป้าหมายการผลิตสูงมาก [6]

จาก ตารางที่ 1.4 จะเห็นได้ว่าประเทศไทยมีการผลิตไฟฟ้าจากชีวมวลปริมาณมากกว่า พลังงานทดแทนประเภทอื่นโดยมีกำลังการผลิตใน ค.ศ. 2014 ประมาณ 2,199 MW และมีแผนนำชีวมวลมาใช้ในการผลิตไฟฟ้าเพิ่มขึ้นเป็น 5,570 MW ใน ค.ศ. 2036

ตารางที่ 1.4 แผนผลิตไฟฟ้าจากพลังงานทดแทนและพลังงานทางเลือกของประเทศไทย [6]

ประเภทของพลังงาน	กำลังการผลิต ค.ศ. 2014 (MW)	เป้าหมายการผลิต ค.ศ. 2036
		(MW)
● พลังงานทดแทน		
- พลังงานแสงอาทิตย์	1,570	6,000
- พลังงานลม	220	3,002
- พลังงานน้ำ	3,016	3,282
- เขื่อเพลิงจากขยะมูลฝอย (MSW)	48	501
- ชีวมวล	2,119	5,570
- ก๊าซชีวภาพ	226	600

ตารางที่ 1.5 กำลังการผลิตไฟฟ้าจากพลังงานทดแทน ค.ศ. 2013 [5]

ประเภทของพลังงาน	กำลังการผลิต (MW)	ปริมาณ (ktoe)
พลังงานแสงอาทิตย์	823.5	92
พลังงานลม	222.7	26
พลังงานน้ำขนาดเล็ก	108.8	28
เขื่อเพลิงจากขยะมูลฝอย (MSW)	47.5	25
ชีวมวล	2,320.8	1,039
ก๊าซชีวภาพ	265.2	131

ตารางที่ 1.6 การใช้พลังงานความร้อนจากพลังงานทดแทน ค.ศ. 2013 [5]

ประเภทของพลังงาน	หน่วย Physical Unit	ปริมาณ (ktoe)
พลังงานแสงอาทิตย์	191,788 GJ	5
เขื่อเพลิงจากขยะมูลฝอย (MSW)	740 kton	85
ชีวมวล	20,997 kton	4,694
ก๊าซชีวภาพ	1,422,607,973 m ³	495

การนำวัสดุเหลือใช้ทางการเกษตรและเศษอาหารที่ถูกทิ้งมาผลิตเป็นพลังงานทดแทน ประเภทชีวมวล เป็นอีกทางเลือกหนึ่งที่สามารถเป็นทางเลือกในอุตสาหกรรมการผลิตไฟฟ้าหรือ นำมาใช้เป็นพลังงานที่ให้ความร้อน เที่ยวด้วยกัน ตารางที่ 1.5 และ 1.6 ประเทศไทยมีการใช้ชีวมวล เพื่อการผลิตไฟฟ้า 2,320.8 MW และใช้เป็นพลังงานที่ให้ความร้อน 4,694 ktoe

ถ่านชีวภาพ (Biocoke) เป็นชีวมวลก้อนที่ผลิตจากวัสดุเหลือใช้ทางการเกษตรและเศษอาหาร ด้วยกระบวนการอัดร้อนที่ความดันสูง ซึ่งเป็นการเปลี่ยนแปลงทางกายภาพของชีวมวล โดยปราศจาก กระบวนการคาร์บอนайเซชัน (Carbonization Process) ถ่านชีวภาพมีคุณสมบัติเด่นคือ มีความ หนาแน่นสูง ประมาณ $1.1 - 1.3 \text{ g/cm}^3$ ซึ่งสูงกว่าชีวมวลก้อนที่ผลิตจากการเผาไหม้ตัวอย่างเช่น ชีวมวลอัดเม็ด (Wood Pallet) ประมาณ 3 เท่า ทำให้ลดพื้นที่ในการขนส่งได้ มีค่าความต้านทาน แรงอัดสูงสุดสูง และมีค่าความร้อนใกล้เคียงกับถ่านโคก จึงสามารถใช้เป็นพลังงานที่ให้ความร้อนใน โรงงานอุตสาหกรรมและการผลิตกระแสไฟฟ้าได้ โดยที่ปัจจัยที่ส่งผลต่อคุณสมบัติของถ่านชีวภาพมีอยู่ หลายปัจจัยด้วยกัน เช่น อุณหภูมิที่ใช้ในการผลิต ความดันที่ใช้ในการผลิต ความชื้นของวัตถุดิบ ปริมาณสารประกอบอินทรีย์ที่มีอยู่ในวัตถุดิบ คือ สารลิกโนเซลลูโลส (Lignocellulose) ซึ่งเป็น สารประกอบอินทรีย์ประเภทคาร์บอไฮเดรตที่พบมากบริเวณผนังเซลล์ของพืช ประกอบด้วยสารลิกนิน (Lignin) เซลลูโลส (Cellulose) เอมิเซลลูโลส (Hemicellulose) และ เพกติน (Pectin) [7]

ผู้วิจัยเลือกถ่านชีวภาพในการนำ kakka ga pae ใช้แล้วซึ่งเป็นวัตถุดิบเหลือใช้ที่หาได้ง่าย โดยมีปริมาณ การผลิตทั่วโลก ค.ศ. 2013 ประมาณ 8,676 ตัน [8] โดยทั่วไป kakka ga pae ที่ใช้แล้วจะมีปริมาณน้ำมัน ประมาณ 0-15% [9] และมีส่วนประกอบทางเคมีที่เหมาะสมในการผลิตถ่านชีวภาพ (Biocoke) และ จากผลการวิเคราะห์องค์ประกอบทางเคมีเบื้องต้นพบว่าตัวอย่าง kakka ga pae ที่นำมาเป็นวัตถุดิบของ งานวิจัยการผลิตถ่านชีวภาพด้วยเครื่องผลิตถ่านชีวภาพโดยการอัดแนวน้ำตั้งนี้มีสารลิกนิน 39.97% เซลลูโลส 18.38 %wt. เอมิเซลลูโลส 22.95 %wt. โดยที่ %wt. คือ ร้อยละโดยน้ำหนักสารต่อ น้ำหนักแห้งของ kakka ga pae และจากการศึกษางานวิจัยของ Adriana Farah [10] พบว่าในเมล็ด kakka ga pae มีสารเพกติน (Pectin) ซึ่งเป็นสารที่พบบริเวณผนังเซลล์ของพืช ประมาณ 2 %wt. หากไปกว่านั้นยังมี การใช้ kakka ga pae เป็นส่วนผสมในการผลิตถ่านชีวภาพจากวัสดุเหลือใช้ทางการเกษตร เช่น ไม้ชนิด ต่างๆ ในประเทศไทยปัจจุบันอีกด้วย ในงานวิจัยนี้จึงทำการผลิตถ่านชีวภาพจาก kakka ga pae ใช้แล้ว ด้วยเครื่อง ผลิตถ่านชีวภาพโดยการอัดในแนวตั้ง และศึกษาผลกระทบของสภาวะการผลิตต่อสมบัติถ่านชีวภาพที่ ผลิตได้

1.2 วัตถุประสงค์ของการศึกษา

เพื่อศึกษาผลกระทบของสภาวะการผลิตต่อสมบัติทางกายภาพ สมบัติทางความร้อน สมบัติทางกลและโครงสร้างระดับจุลภาคของถ่านชีวภาพที่ผลิตจากกาแฟ

1.3 ขอบเขตของการศึกษา

1.3.1 กรรมวิธีการผลิต

ทำการผลิตถ่านชีวภาพด้วยเครื่องผลิตถ่านชีวภาพโดยการอัดในแนวตั้ง ซึ่งมีขนาดของแม่พิมพ์ที่เหมาะสมกับขนาดอนุภาคของวัตถุดิบ โดยวัตถุดิบต้องกล่ำวีกากาแฟ กำหนดให้มีปริมาณกาแฟ 50 g (± 0.01) ต่อการผลิต 1 ครั้ง

1.3.2 การศึกษาผลกระทบของการผลิต

ศึกษาผลกระทบของสภาวะการผลิตต่อสมบัติทางกายภาพ สมบัติทางความร้อนและสมบัติทางกลของถ่านชีวภาพที่ผลิตจากกาแฟ โดยการปรับตัวแปรดังต่อไปนี้

- 1.) ความชื้นของวัตถุดิบมีค่า 5 - 10 %
- 2.) ขนาดของกาแฟมีขนาดเล็กกว่า 1000 Micron
- 3.) ความดันที่ใช้ในการผลิตอยู่ในช่วง 1.0 - 1.6 MPa
- 4.) อุณหภูมิในการผลิตอยู่ในช่วง 150 - 190 °C
- 5.) เวลาในการผลิตอยู่ในช่วง 10 - 20 นาที

1.3.3 การศึกษาสมบัติของถ่านชีวภาพที่ผลิตจากกาแฟ

การตรวจสอบคุณสมบัติของถ่านชีวภาพที่ผลิตจากกาแฟแบ่งออกเป็น 5 ส่วนคือ การหาความหนาแน่นรวม (Bulk Density) ค่าความร้อน (Calorific value) ความต้านทานแรงอัดสูงสุด (Compressive Strength) การวิเคราะห์สมบัติทางความร้อน (Thermo Gravimetric Analysis) และการวิเคราะห์พื้นผิวของถ่านชีวภาพ (Scanning Electron Microscopy)

1.4 ประโยชน์ที่คาดว่าจะได้รับ

ทราบผลกระทบของปัจจัยการผลิตถ่านชีวภาพจากการกาแฟต่อสมบัติทางกายภาพ สมบัติทางความร้อน และสมบัติทางกล สามารถนำผลการวิเคราะห์สมบัติต่างๆ ของถ่านชีวภาพที่ผลิตจากกาแฟไปปรับปรุงและพัฒนาการผลิตต่อไปได้

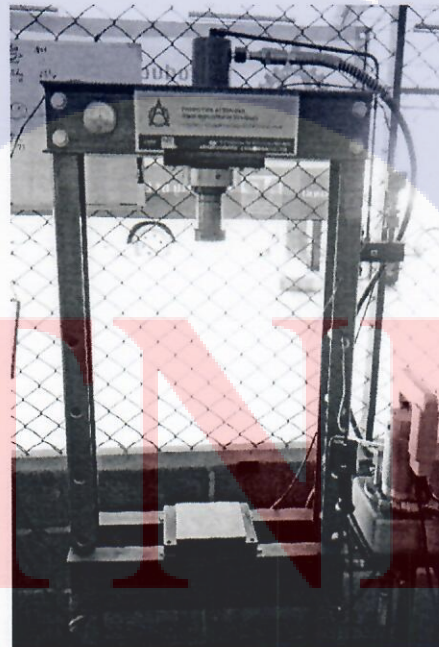
บทที่ 2

ทฤษฎีและงานวิจัยที่เกี่ยวข้อง

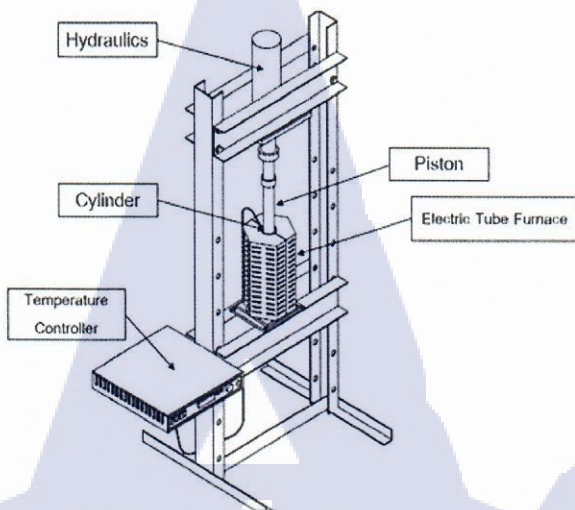
2.1 ทฤษฎีที่เกี่ยวข้อง

2.1.1 ถ่านชีวภาพ (Biocoke)

ถ่านชีวภาพเป็นขีมวลก้อนแข็งที่ผลิตจากวัสดุเหลือใช้ทางการเกษตร เศษอาหาร และเศษวัสดุจากอุตสาหกรรม ถ่านชีวภาพให้ค่าความร้อนสูง และมีค่าความหนาแน่นสูง สามารถใช้แทนถ่านโค้กในอุตสาหกรรมได้ และช่วยลดการเกิดมลพิษ จากข้อมูลการทดลองเบื้องต้นในการผลิตถ่านชีวภาพจากเศษวัสดุทางการเกษตรและของเหลวใช้จากอุตสาหกรรมเกษตรของ ห้องวิจัยกระบวนการวัสดุขั้นสูง ศูนย์วิจัยเทคโนโลยีพลังงานขั้นสูง สถาบันเทคโนโลยีไทย-ญี่ปุ่น พบร่วมถ่านชีวภาพที่ผลิตได้มีค่าความร้อนประมาณ $3,000\text{--}6,000 \text{ kcal/kg}$ และค่าความหนาแน่นประมาณ $1.1\text{--}1.3 \text{ g/cm}^3$ ซึ่งอยู่กับชนิดของวัตถุดิบ และจากการวิจัยของ Ito et al [11] พบร่วมถ่านชีวภาพที่มีเส้นผ่านศูนย์กลาง $47.75 \pm 0.5 \text{ mm}$ สูง 85 mm มีค่าความหนาแน่นประมาณ 1.3 g/cm^3 ซึ่งมากกว่า ขีมวลอัดเม็ด (Wood Pellet) ประมาณ 3 เท่า



รูปที่ 2.1 เครื่องผลิตถ่านชีวภาพด้วยการอัดแนวตั้งก่อนติดตั้งระบบอัดและอีตเตอร์



รูปที่ 2.2 ภาพจำลองเครื่องผลิตถ่านชีวภาพโดยการอัดในแนวตั้ง [12]

รูปที่ 2.1 แสดงเครื่องผลิตถ่านชีวภาพด้วยการอัดแนวตั้งก่อนติดตั้งระบบอัดและฮีตเตอร์ และรูปที่ 2.2 แสดงภาพจำลองเครื่องผลิตถ่านชีวภาพโดยการอัดแนวตั้งหลังจากติดตั้งสำหรับการทดลอง เนื่องจากเครื่องอัดถ่านชีวภาพโดยการอัดแนวตั้งนั้นออกแบบมาเพื่อใช้ในการทดสอบหาสภาวะที่เหมาะสมในการผลิตถ่านชีวภาพ จึงมีขนาดเส้นผ่าศูนย์กลางขนาดเล็ก ไม่เหมาะสมในการผลิตในปริมาณมาก สำหรับการผลิตถ่านชีวภาพในปริมาณมากจะใช้เครื่องผลิตถ่านชีวภาพโดยการอัดในแนวอนซึ่งมีเส้นผ่าศูนย์กลางของระบบอุ่นสูบขนาดใหญ่กว่า ดังแสดงดังรูปที่ 2.3 ซึ่งสามารถใช้ผลิตถ่านชีวภาพจากวัตถุดิบที่มีปริมาณมากได้ โดยมีกำลังการผลิตประมาณ 96 ชิ้นต่อวัน



รูปที่ 2.3 เครื่องผลิตถ่านชีวภาพโดยการอัดในแนวอน

2.1.2 กาแฟแฟร์คั่วบด (Used Coffee Ground)

กาแฟแฟร์คั่วบดซึ่งในที่นี้หมายถึงวัสดุที่เหลือทิ้งของกาแฟคั่วบด (Ground Roasted Coffee)หลังจากที่ผ่านกรรมวิธีสกัดสารที่ละลายในน้ำได้ออกไปแล้ว ซึ่งเป็นวัสดุเหลือใช้จากการเกษตรอีกชนิดหนึ่งที่หาได้ง่ายในปัจจุบัน จากรายงานของการผลิตกาแฟทั่วโลกของ International Coffee Organization [8] พบร่วมกับการผลิตเมล็ดกาแฟใน ค.ศ. 2013 ประมาณ 8,676,000 ตัน ทำให้ปริมาณกาแฟแฟร์คั่วบดสูงตามไปด้วย จากตารางที่ 2.1 พบร่วมกับกาแฟมีส่วนประกอบของลิกนินและเซลลูโลส ซึ่งเป็นส่วนประกอบทางเคมีของลิกโนเซลลูโลส

ตารางที่ 2.1 ส่วนประกอบทางเคมีของกาแฟคั่วบด (Used Coffee Ground) [13]

ส่วนประกอบทางเคมี	%
Crude protein	10-12
Crude fiber	35-44
Lignin	13-16
Cellulose	22-28
Lipids (ether extract)	22-27
Minerals	0.3-1

2.1.3 ลิกโนเซลลูโลส (Lignocellulose)

ลิกโนเซลลูโลสเป็นวัสดุผสมที่สังเคราะห์โดยเซลล์พืช โครงสร้างของลิกโนเซลลูโลสประกอบด้วยลิกนิน เซลลูโลส และเอมิเซลลูโลส [14] เรียงตัวกันตามรูปที่ 2.4 ซึ่งจะมีสัดส่วนที่แตกต่างกันในข้อมูลประเภทต่างๆ ดังแสดงในตารางที่ 2.2 [12] นอกจากนั้นบริเวณผนังเซลล์ของพืชยังมีเพกติน (Pectin) [14, 15] ซึ่งทำหน้าที่ยึดเกาะผนังเซลล์ของพืช รวมอยู่กับเซลล์ของเซลลูโลส อีกด้วย



รูปที่ 2.4 โครงสร้างของลิกโนเซลลูโลส [16]



รูปที่ 2.5 โมเลกุลของเพกติน บริเวณผนังเซลล์ของพืช [14]

ตารางที่ 2.2 ส่วนประกอบโลสของพืชพลังงาน [15]

ชนิดของวัตถุดิบ	% เซลลูโลส	% เอมิเซลลูโลส	% ลิกนิน	% อื่นๆ
ฟางข้าว	38	36	16	10
ต้นข้าวโพด	53	15	16	16
ซังข้าวโพด	32	44	13	11
ขานอ้อย	35	25	20	20
ไม้เตี้ร์ว	50	23	22	5
ไม้ไผ่	76	26	27	7

2.1.4 ชีวมวล (Biomass)

สำนักงานนโยบายและแผนพลังงาน กระทรวงพลังงาน [17] ได้ให้ความหมายคำว่า “ชีวมวล” ไว้ในรายงานเรื่องชีวมวลว่า “สารอินทรีย์ที่เป็นแหล่งกากเก็บพลังงานจากการธรรมชาติและสามารถนำมาใช้เป็นเชื้อเพลิงผลิตพลังงานได้ เช่น เศษวัสดุเหลือใช้ทางการเกษตร หรือจากกระบวนการผลิตในอุตสาหกรรมการเกษตร” ชีวมวลประกอบด้วยธาตุ คาร์บอน ไฮโดรเจน และออกซิเจน เป็นธาตุหลัก ผลิตจาก เศษไม้ วัสดุเหลือใช้ทางการเกษตร และสิ่งปฏิกูล นอกจากนี้ชีวมวลยังสามารถเปลี่ยนไปเป็นสถานะก้าช เช่น มีเนน หรือสถานะของเหลว เช่น เอทานอลและไบโอดีเซลได้อีกด้วย

ประเทศไทยซึ่งเป็นประเทศเกษตรกรรม จึงทำให้ปริมาณของวัสดุเหลือใช้ทางการเกษตรมีมาก ประกอบกับค่าความร้อนที่ได้จากการทำชีวมวลจากวัสดุเหลือใช้ทางการเกษตรเหมาะสมในการใช้เป็นพลังงานทดแทน ทำให้มีปริมาณการผลิตชีวมวลจากวัสดุเหลือใช้ทางการเกษตรเช่น แกลบ ฟางข้าว ขานอ้อย เศษไม้ กากปาล์ม ฯลฯ สูง จากตารางที่ 1.4 จะเห็นได้ว่าประเทศไทยมีกำลังการผลิตไฟฟ้าจากชีวมวลสูงถึง 1,752 MW และมีแนวโน้มที่จะเพิ่มขึ้นอีกด้วย

ตารางที่ 2.3 ตารางค่าความร้อนวัสดุเหลือใช้ทางการเกษตรในไทย [15]

ชนิด	วัสดุเหลือใช้	ค่าความร้อน (kcal/kg)	ชนิด	วัสดุเหลือใช้	ค่าความร้อน (kcal/kg)
อ้อย	ชานอ้อย	3,439	มะพร้าว	เปลือก	3,876
	ยอดและใบ	4,153		กะลา	4,282
ข้าว	แกลบ	3,408		หงษ์	3,678
	ฟางข้าว	2,445		หาง	3,821
น้ำมันปาล์ม	หงษ์ปาล์ม	4,265	มันสำปะหลัง	ตัน	4,399
	เส้นใย	4,208	ข้าวโพด	ซัง	4,356
	กะลา	4,409	ถั่วเหลือง	เปลือก	3,023
	ก้านหงษ์	2,347	ฝ้าย	ลำต้น	3,460
	หงษ์ตัวผู้	3,900	ถั่วเหลือง	ลำต้นและใบ	4,643
เศษไม้	กิ่งก้าน	3,577	ข้าวฟ่าง	ใบและต้น	4,593

2.1.5 ชีมวลอัดเม็ด (Wood Pellet)

ชีมวลอัดเม็ดเป็นเชื้อเพลิงที่ทำจากเศษไม้ซึ่งมีความหนาแน่นรวม (Bulk Density) ประมาณ 0.7 g/cm^3 มีความซึ้นตាทำให้มีประสิทธิภาพในการเผาไหม้สูง มีปริมาณขี้เข้าต่ำกว่าชีมวลประเภทอื่นประมาณ 3 % และสามารถควบคุมปริมาณการใช้ได้ง่ายเนื่องจากมีขนาดและน้ำหนักที่ใกล้เคียงกันมาก [18] ตัวอย่างชีมวลอัดเม็ดแสดงดังรูปที่ 2.6



รูปที่ 2.6 ชีมวลอัดเม็ด (Wood Pellet) [19]

2.1.6 เทคโนโลยีการผลิตก๊าซเชื้อเพลิงจากขยะชุมชน (Municipal Solid Waste Gasification: MSW Gasification)

จากรายงานเรื่องพลังงานจากขยะสำนักงานนโยบายและแผนพลังงาน กระทรวงพลังงาน [18] ได้ให้คำนิยามเทคโนโลยีการผลิตก๊าซเชื้อเพลิงจากขยะชุมชนไว้ว่า “เป็นกระบวนการทำให้ขยะ เป็นก๊าซโดยการทำปฏิกิริยาสันดาปแบบไม่สมบูรณ์ (Partial Combustion) โดยสารอินทรีย์ในขยะ จะทำปฏิกิริยากับอากาศหรือออกซิเจนปริมาณจำกัด ทำให้เกิดก๊าซคาร์บอนมอนอกไซด์ ไฮโดรเจน และก๊าซเชื้อเพลิง ซึ่งนำไปผลิตไฟฟ้าหรือให้ความร้อนโดยตรงต่อไป” ตัวอย่างเครื่องผลิตก๊าซ เชื้อเพลิงจากขยะชุมชนในประเทศไทยแสดงดัง รูปที่ 2.7 แต่เทคโนโลยีนี้ยังไม่เป็นที่แพร่หลายในประเทศไทย แต่ในทวีปอเมริกาเหนือ ทวีปยุโรป รวมไปถึงประเทศไทยญี่ปุ่น เทคโนโลยีนี้เป็นเทคโนโลยี ที่มีใช้อย่างแพร่หลายมาก เนื่องจากประเทศไทยมีการจัดการขยะ สามารถแยกขั้นตอนของขยะเพื่อนำกลับมาใช้ค่าได้อย่างมีประสิทธิภาพ



รูปที่ 2.7 เครื่องผลิตก๊าซเชื้อเพลิงจากขยะชุมชนในประเทศไทย [20]

2.1.7 ถ่านโค้ก (Coke)

ถ่านโค้กดังรูปที่ 2.8 เป็นวัตถุดิบที่สำคัญที่สุดใช้ในอุตสาหกรรมกลุ่มเหล็ก เกิดจากการนำถ่านหิน (Coal) ชนิดบิทูมินัส มาผ่านกระบวนการคาร์บอนไนเซชัน ในเตาอิฐที่อุณหภูมิ 1,100 °C โดยใช้เวลาประมาณ 14-36 ชั่วโมง [21] ถ่านโค้กนั้นมีปริมาณคาร์บอนสูงถึง 80-90% ทำให้สามารถใช้เป็นเชื้อเพลิงที่ให้ความร้อนได้เป็นอย่างดี ในอุตสาหกรรมกลุ่มเหล็กจะนำถ่านโค้กที่ผ่านกระบวนการคาร์บอนไนเซชันแล้วผสมกับแร่เหล็กและหินปูนใส่ลงในเตาถลุงเหล็ก (Blast Furnace) ถ่านโค้กที่ดีควรจะมีค่า Compressive strength (ความต้านทานแรงอัด) สูงเนื่องจากจะต้องรองรับแรงจากแร่เหล็กในเตาหลอม และควรมีกำมะถันน้อย เพราะจะทำให้เหล็กเกิดความเปราะได้และเกิดมลภาวะทางอากาศสูง [22] อย่างไรก็ตามการใช้ถ่านหินเป็นเชื้อเพลิงก่อให้เกิดมลภาวะทางอากาศสูง

และถ่านหินที่มีคุณภาพดีต้องนำเข้าจากต่างประเทศเป็นหลัก จึงมีความไม่มั่นคงทางด้านพลังงานในอนาคตหากต้องพึ่งพาการใช้ถ่านหินเป็นเชื้อเพลิงหลัก



รูปที่ 2.8 ถ่านโค้ก [23]

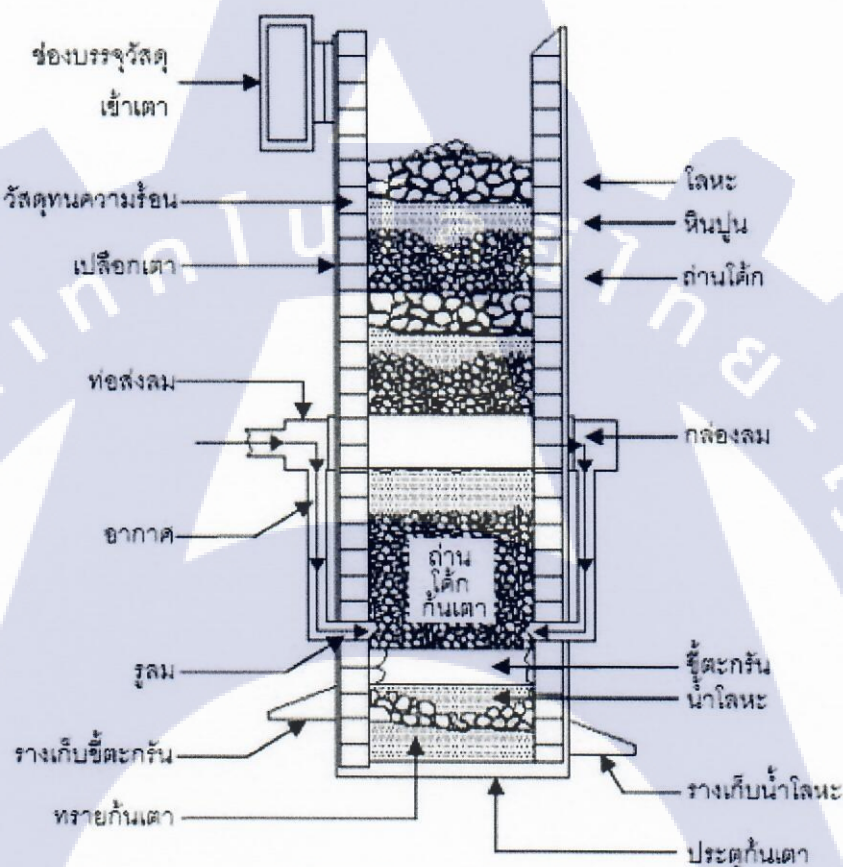
ตารางที่ 2.4 สมบัติของถ่านโค้กแต่ละชนิด [24]

สมบัติ	ถ่านโค้ก	ถ่านชีวภาพ	ผงถ่าน (Charcoal)	วิธีทดสอบ
ค่าความร้อน	7000	4000-6000	8000	Bomb Calorimeter
ความต้านทานแรงกดสูงสุด	20 MPa	40-100 MPa	1-3 MPa	Compression test
ความต้านทานแรงกดสูงสุดที่ความดันสูง	N/A	High	Average	Pressurized combustion test/SEM
ความหนาแน่น	1.1 g/cm ³	1.4 g/cm ³	0.3 g/cm ³	Actual measurement

ตารางที่ 2.4 แสดงการเปรียบเทียบสมบัติทางความร้อน สมบัติทางกล และสมบัติทางกายภาพของถ่านโค้ก ถ่านชีวภาพ และผงถ่าน (Charcoal) ซึ่งพบว่าถ่านชีวภาพมีค่าความร้อนที่ใกล้เคียงกับถ่านโค้ก แต่มีค่าความต้านทานแรงอัดสูงสุดและค่าความหนาแน่นสูงกว่าอย่างเห็นได้ชัด

2.1.8 เตาอุตสาหกรรมแบบ Cupola Furnace

เตา Cupola Furnace ใช้ในอุตสาหกรรมเหล็กหล่อ ที่ใช้ถ่านコーคเป็นเชื้อเพลิง ลักษณะเตา เป็นแบบทรงกระบอกแนวตั้ง ภายในมีจำนวนกันความร้อน บริเวณด้านล่างของเตาจะเป็นแอ่งสำหรับ พักโลหะที่ถูกหลอมก่อนจะถูกส่งออกภายนอกดังรูปที่ 2.8 [25] ซึ่งถ่านชีวภาพ (Bio coke) สามารถนำไปใช้ร่วมกับถ่านコーคที่ใช้ในเตานิดนี้ได้โดยไม่ต้องมีการตัดแบ่งเตาหลอม



รูปที่ 2.9 เตา Cupola Furnace [25]

2.1.9 การอัดร้อนที่ความดันสูง

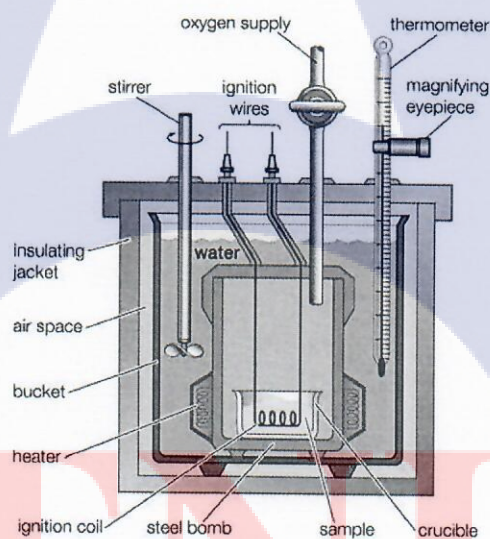
การอัดร้อนที่ความดันสูงเป็นเทคนิคที่ใช้เพื่อเพิ่มความหนาแน่นให้กับชีมวล ซึ่งการอัดร้อนที่ความดันสูงเป็นกระบวนการที่ตัดแบ่งมาจากการผลิตอาหารสัตว์อัดเม็ด จากอิทธิพลของ แรงอัดนี้ทำให้เพกติน (Pectin) ซึ่งเป็นสารอีกชนิดหนึ่งที่เป็นส่วนประกอบของไม้เกิดการแปลงสภาพ กลายเป็นตัวประสารของชีมวล นอกจากนั้นยังเกิดการยึดเกาะภายในเนื้อวัสดุซึ่งเกิดจากสารลิกนินที่ อ่อนตัวในช่วงอุณหภูมิระหว่าง 130-190 °C และสารเอนไซม์เซลลูโลสที่เกิดการแปรสภาพระหว่างกระบวนการ [15] โดยที่กระบวนการผลิตถ่านชีวภาพจะใช้วิธีการอัดแห้งด้วยกระบวนการสูบ มีหลักการ

คือถูกสูบจะทำหน้าที่ดันวัตถุดิบเข้าในระบบอกรสูบ เพื่อทำให้วัตถุดิบเกิดการอัดตัวแน่นภายใน จากนั้นเพิ่มอุณหภูมิประมาณ $150\text{--}300\text{ }^{\circ}\text{C}$ ที่ระบบอกรสูบ และทิ้งไว้เพื่อให้เกิดการยึดเกาะตัวกัน วัตถุดิบ

2.2 หลักการวิเคราะห์ที่เกี่ยวข้อง

2.2.1 บอมบ์แคลอริเมเตอร์ (Bomb Calorimeter)

Bomb Calorimeter เป็นเครื่องมือที่ใช้หาค่าความร้อนของเชื้อเพลิง ส่วนประกอบของ Bomb Calorimeter แสดงดังรูปที่ 2.8 ของเป็นภาชนะปิดสนิท มีเทอร์มомิเตอร์วัดอุณหภูมิภายใน วัสดุที่ต้องการรู้ค่าความร้อนจะถูกบรรจุไว้ภายในที่มีก้าชอกอซิเจนเพียงพอต่อการสันดาบ มีลวดจุดระเบิดเชื่อมระหว่างวัสดุนั้นๆ กับปุ่มภายนอกภาชนะ โดยที่ภาชนะดังกล่าวจะถูกหุ้มด้วยถังน้ำอึก ขั้นหนึ่ง กระแสไฟฟ้าจะทำให้ลวดจุดระเบิดเกิดความร้อน ส่งผลให้วัสดุเกิดการเผาไหม้ จากนั้นทำการวัดค่าอุณหภูมิของน้ำที่เพิ่มขึ้น [26]



รูปที่ 2.10 ภาพจำลองบอมบ์แคลอริเมเตอร์ [26]

2.2.2 ค่าความร้อน (Calorific Value) ของเชื้อเพลิง

ค่าความร้อนของเชื้อเพลิงคือ ปริมาณความร้อนต่อหน่วยน้ำหนักที่ถ่ายเทออกจากเชื้อเพลิง เมื่อเกิดการสันดาปที่สมบูรณ์ ผลของการสันดาปจะได้ก้าชาร์บอนไดออกไซด์และน้ำที่อยู่ในรูปของไอน้ำ [26]

2.2.3 การหาค่าความร้อนของเชื้อเพลิงโดยใช้ Bomb Calorimeter

การหาค่าความร้อนโดยใช้ Bomb Calorimeter เริ่มจากการนำเชื้อเพลิงที่ต้องการทดสอบ ไปชั่งน้ำหนัก จากนั้นนำมาสันดาปภายใต้บรรยากาศของก้าชออกซิเจนที่มีมากเพียงพอ ความร้อนที่เกิดจากการสันดาปของเชื้อเพลิงจะถูกถ่ายทอดให้กับน้ำที่หล่อเย็นอุปกรณ์อยู่ ทำการวัดอุณหภูมิของน้ำที่เปลี่ยนไป จากนั้นนำมาคำนวณหาค่าความร้อนเชื้อเพลิงจากสมการที่ 2.1 [26]

$$H_g = \frac{tW - e_1 - e_2 - e_3}{m} \quad (2.1)$$

โดยที่

H_g = ค่าความร้อนของเชื้อเพลิง (cal/g)

m = มวลของเชื้อเพลิงแข็ง (g)

t = อุณหภูมิของน้ำที่เพิ่มขึ้น ($^{\circ}\text{C}$)

W = ค่าน้ำสมมูลย์ของ Bomb Calorimeter

e_1 = ค่าแก้เนื่องจากความร้อนที่เกิดจากการด้านติกในกระบวนการสันดาป สามารถกำหนดให้มีค่าเท่ากับ 29.3 (Calories)

e_2 = ค่าแก้เนื่องจากความร้อนที่เกิดจากการดักฟูริกในกระบวนการสันดาป มีค่าเท่ากับมวลของเชื้อเพลิงแข็งคูณด้วย 13.974

e_3 = ค่าแก้ความร้อนที่เกิดจากเส้นลวดไฟฟ้าที่ใช้จุดเบิด สามารถคำนวณได้จากความยาวของเส้นลวด (cm) ที่ใช้ในการสันดาปคูณด้วย 2.3

2.2.4 ความหนาแน่นของของแข็ง

ปัจจัยสำคัญที่มีผลต่อความหนาแน่นของถ่านหินภาพ [15] คือ

- 1) ปริมาณความชื้นของวัตถุดิบ
- 2) ขนาดของวัตถุดิบ เนื่องจากวัตถุดิบที่มีขนาดเล็กจะง่ายต่อการอัดตัว
- 3) อุณหภูมิ

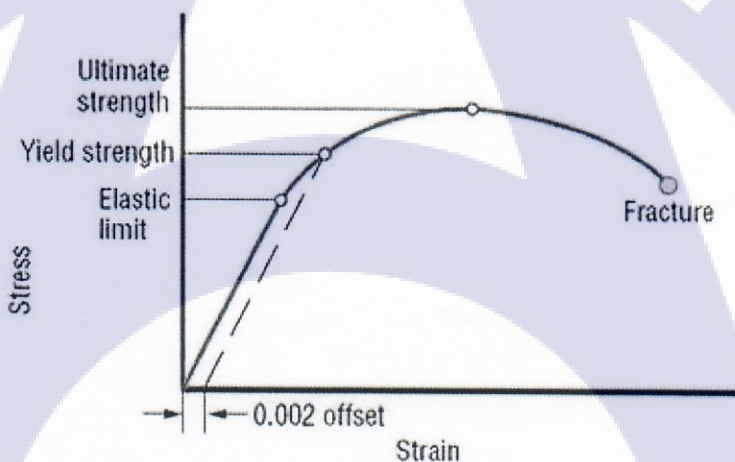
4) ความดัน

การคำนวณหาค่าความหนาแน่นของถ่านเขียวภาพที่ผลิตจากการกากาแฟนั้นจะใช้วิธีการหาความหนาแน่นรวม (Bulk Density) ของวัตถุ ซึ่งหมายถึงความหนาแน่นที่รวมช่องว่างที่เกิดขึ้นทั้งหมดในวัตถุ สามารถหาได้จากสมการที่ 2.2 [27]

$$\text{ความหนาแน่นรวมของวัตถุ} = \frac{\text{มวลของวัตถุ}}{\text{ปริมาตรของวัตถุ}} \quad (2.2)$$

2.2.5 ความต้านทานแรงอัดสูงสุด (Compressive Strength)

การทดสอบความต้านทานแรงอัดสูงสุดทำได้โดยการวิเคราะห์กราฟความสัมพันธ์ระหว่างความเค้น (Stress) และความเครียด (Strain) ของวัตถุ จากรูปที่ 2.9 จุด Ultimate Strength คือ จุดจำกัดสูงสุดของวัตถุที่สามารถรับแรงอัดได้หรือความต้านทานแรงอัดสูงสุด (Compressive Strength) ที่ใช้ในการศึกษานี้ [28]



รูปที่ 2.11 ความสัมพันธ์ระหว่างความเค้นและความเครียด [29]

2.2.6 การวิเคราะห์ผิวของถ่านเขียวภาพโดยการใช้กล้องจุลทรรศน์อิเล็กตรอนแบบส่อง粒 (Scan Electron Microscope)

กล้องจุลทรรศน์อิเล็กตรอนแบบส่อง粒เป็นอุปกรณ์ที่ใช้ในการส่องดูโครงสร้างของวัตถุระดับจุลภาค ผิวของวัสดุจะถูกจำลองโดยอิเล็กตรอนความดันจากนั้นจะตรวจจำลองโดยอิเล็กตรอนที่สะท้อนออกมา แสดงผลด้วยการกวาดด้วยอัตราเดียวกันเหมือนจอมโทรทัศน์ กำลังขยายของกล้องจุลทรรศน์ชนิดนี้จะอยู่ระหว่าง 10 - 50,000 เท่า [28]

2.3 งานวิจัยที่เกี่ยวข้อง

เครื่องผลิตถ่านชีวภาพโดยการอัดในแนวตั้งญี่ปุ่นใช้ทำการวิจัยที่ประเทศญี่ปุ่น ใน ค.ศ. 2009 Sawai et al [30] ได้ผลิตถ่านชีวภาพ (Bio-coke) ซึ่งในขณะนั้นถูกเรียกว่า Bio-Solid Fuel จากเศษไม้ของต้นบัวยและต้นพลับ โดยทำการทดลองเพื่อศึกษาผลกระแทบทองปัจจัยต่างๆ ต่อสมบัติของ Bio-Solid Fuel โดยทำการวัดค่าความต้านทานแรงอัดสูงสุด (Compressive Strength) ของชิ้นงาน Bio-Solid Fuel ผลิตจากเศษไม้ดังกล่าว Bio-Solid Fuel จากต้นบัวยมีความต้านทานแรงอัดสูงสุดเมื่ออุณหภูมิของแม่พิมพ์อยู่ระหว่าง 140-160 °C โดยที่ขนาดของอนุภาคไม่มีผลต่อความต้านทานแรงอัดสูงสุด ส่วน Bio-Solid Fuel จากต้นพลับนั้นจะมีค่าความต้านทานแรงอัดสูงสุดเมื่ออุณหภูมิของแม่พิมพ์เท่ากับ 180 °C และจะมีค่าความต้านทานลดลงตามขนาดของอนุภาคที่ลดลง

Mizuno et al [31] ได้ศึกษาปัจจัยการผลิต (ความชื้นและอุณหภูมิ) ที่มีต่อความหนาแน่นและความต้านทานแรงอัดสูงสุดของชิ่มวลที่ผลิตจากสมุนไพรของญี่ปุ่น โดยที่ความหนาแน่นสูงสุดที่ผลิตได้คือ 1.38 g/cm^3 และมีความต้านทานแรงอัดสูงสุดที่ 127 MPa นอกจากนี้ Mizuno และคณะได้รายงานว่าความหนาแน่นและความต้านทานแรงอัดสูงสุดสามารถควบคุมได้จากการควบคุมความชื้นและอุณหภูมิ

Mizuno et al [32] ทำการศึกษาความสัมพันธ์ระหว่างความต้านทานแรงอัดและปริมาณของคาร์บอน (Carbon Content) นอกจากนี้ยังนำการวิเคราะห์ทางความร้อนมาใช้เพื่อประเมินค่าความร้อนของวัตถุดิบก่อนที่จะนำมาผลิตถ่านชีวภาพอีกด้วย จากผลการทดลองแสดงให้เห็นว่าปริมาณความเข้มข้นของคาร์บอนจะเปลี่ยนผันแปรตามความต้านทานแรงอัดของถ่านชีวภาพ

Ito et al [11] ศึกษาปัจจัยที่ส่งผลต่อการทดสอบการเผาไหม้ของถ่านชีวภาพที่ผลิตจาก Knotweed ญี่ปุ่น ปัจจัยดังกล่าวคือ อัตราการไหลของอากาศ ความชื้นของถ่านชีวภาพ และอัตราการเปลี่ยนแปลงน้ำหนักของถ่านชีวภาพ โดยแบ่งเป็น 2 เงื่อนไข คือ อุณหภูมิของอากาศก่อนการเผาไหม้สูง (สูงกว่า 325°C) และอุณหภูมิของอากาศก่อนการเผาไหม้สูงพื้นผิวของถ่านชีวภาพจะเกิดการเผาไหม้ก่อนก้าชเฟส แต่ที่อุณหภูมิของอากาศก่อนการเผาไหม้ต่ำก้าชเฟสจะเกิดการเผาไหม้ก่อนกรณีอัตราการไหลของอากาศ ทั้งสองเงื่อนไขจะเกิดการเผาไหม้ที่ผิวของถ่านชีวภาพก่อนการเผาไหม้ของก้าชเฟสในอัตราการไหลของอากาศสูง กรณีความชื้นของถ่านชีวภาพ ทั้งสองเงื่อนไขจะเกิดการเผาไหม้ที่ผิวของถ่านชีวภาพก่อนการเผาไหม้ของก้าชเฟสเมื่อค่าความชื้นของถ่านชีวภาพต่ำ

ใน ค.ศ. 2012 Fuchihata et al [33] ทำการทดลองผลิตถ่านชีวภาพจากการผสมกันระหว่างผิวด้านในของเมล็ดกาแฟ ผิวด้านนอกของเมล็ดกาแฟ และกาแฟในสัดส่วน ที่ต่างกัน และนำมาวัดประสิทธิภาพการสันดาปของถ่านชีวภาพ โดยทำการจับเวลาที่ใช้ตลอดการสันดาป แบ่งเป็น 3 ช่วงคือ ช่วงก่อนสันดาป ช่วงการสันดาป และหลังการสันดาป ผลการทดลองพบว่า

นอกจากระยะเวลาช่วงและหลังการสันดาปแล้วยังมีอีกปัจจัยหนึ่งคือการขยายตัวของการเกิดปฏิกิริยาที่ผิวที่ส่งผลกระทบต่อประสิทธิภาพในการสันดาป

ใน ค.ศ. 2012 Torii et al [34] ทำการผลิตถ่านชีวภาพที่ผสมระหว่างไม้ไผ่และถ่านซีดาร์ญี่ปุ่น เพื่อตรวจสอบความหนาแน่น และความต้านทานแรงอัดสูงสุดที่อุณหภูมิสูง ผลการทดลองพบว่าความหนาแน่นของถ่านชีวภาพจะเพิ่มขึ้นเมื่ออุณหภูมิและความดันของการผลิตเพิ่มขึ้น ความต้านทานแรงกดสูงสุดที่อุณหภูมิสูงจะมากขึ้นเมื่อปริมาณคาร์บอนจากถ่านซีดาร์สูงขึ้น โดยที่มีค่าความต้านทานแรงกดสูงสุดประมาณ 32.6 MPa

ใน ค.ศ. 2013 Mizuno et al [35] ทำการศึกษาผลกระทบเรื่องขนาดพื้นที่หน้าตัดของถ่านชีวภาพที่ผลิตจากใบชาเขียวต่อค่าความต้านทานแรงกดสูงสุดภายใต้อุณหภูมิสูง ผลการทดลองพบว่าถ่านชีวภาพที่ผลิตจากใบชาเขียวจะมีค่าความต้านทานแรงกดสูงสุดที่อุณหภูมิ $700 \text{ }^{\circ}\text{C}$ และขนาดพื้นที่หน้าตัดมีผลต่อค่าความต้านทานแรงกดสูงสุดภายใต้อุณหภูมิสูง โดยที่ถ่านชีวภาพที่มีพื้นที่หน้าตัดน้อยจะมีค่าความต้านทานแรงกดมากกว่าที่อุณหภูมิ $700 \text{ }^{\circ}\text{C}$

ตารางที่ 2.5 แสดงผลสรุปของงานวิจัยที่เกี่ยวข้องกับการงานวิจัยถ่านชีวภาพระหว่าง ค.ศ. 2009 - 2013 จากการวิจัยที่ผ่านมาพบว่ามีหลายปัจจัย เช่น ขนาดวัตถุดิบ ความชื้นของวัตถุดิบ อุณหภูมิ เป็นต้น ที่ส่งผลต่อสมบัติทางกายภาพ ทางกลและทางความร้อนของถ่านชีวภาพที่ผลิตได้ ใน การศึกษานี้จึงจะทำการศึกษาปัจจัยการผลิตได้แก่ ขนาดอนุภาคของกาแฟ อุณหภูมิการผลิต และระยะเวลาที่คงอุณหภูมิการผลิต ที่ส่งผลต่อสมบัติทางกายภาพ ทางกลและทางความร้อนของถ่านชีวภาพจากการกาแฟซึ่งมีอยู่ปริมาณมากในประเทศไทย โดยควบคุมความชื้นเริ่มต้นของกาแฟ ในช่วงที่กำหนดได้



ตารางที่ 2.5 งานวิจัยที่เกี่ยวข้องกับการงานวิจัยถ่านชีวภาพ

ผู้วิจัย / ปี	วัตถุดิบที่ใช้ผลิตถ่านชีวภาพ	ศึกษา	ผลสรุป
Sawai et al [30]	เศษไม้ของต้นบัวยี่หร่าและต้นพลับ	ปัจจัยการผลิต (ขนาดของอนุภาคและอุณหภูมิ) ที่มีผลต่อความต้านทานแรงอัดสูงสุดของถ่านชีวภาพ	อุณหภูมิและขนาดอนุภาคของวัตถุดิบมีผลต่อค่าความต้านทานแรงอัดสูงสุด
Mizuno et al [31]	สมุนไพรของญี่ปุ่น	ปัจจัยการผลิต (ความชื้นของวัตถุดิบและอุณหภูมิ) ที่มีผลต่อความหนาแน่นและความต้านทานแรงอัดสูงสุดของถ่านชีวภาพ	1. ความหนาแน่นสูงสุดมีค่า 1.38 g/cm^3 และความต้านแรงอัดสูงสุดมีค่า 127 MPa 2. ความชื้นและอุณหภูมิมีผลต่อความหนาแน่นและความต้านทานแรงอัดสูงสุดของถ่านชีวภาพ
Mizuno et al [32]	ปล้องคอกอี้ ใบเชอร์รี่ แห้ง เม็ดมะม่วง	ความสัมพันธ์ระหว่างความต้านทานแรงอัดสูงสุดและปริมาณของคาร์บอน	ความต้านทานแรงอัดสูงสุดแปรผกผันกับปริมาณของคาร์บอน
Ito et al [11]	Knotweed ญี่ปุ่น	ปัจจัยที่มีผลต่อการทดสอบการเผาไหม้ของถ่านชีวภาพ	1. อุณหภูมิก่อนการเผาไหม้มีผลต่อการติดไฟที่ผิวของถ่านชีวภาพ 2. ความชื้นของถ่านชีวภาพจะต้องมีค่าต่ำ 3. อัตราการไหลของอากาศมีผลต่อการเผาไหม้ของถ่านชีวภาพ

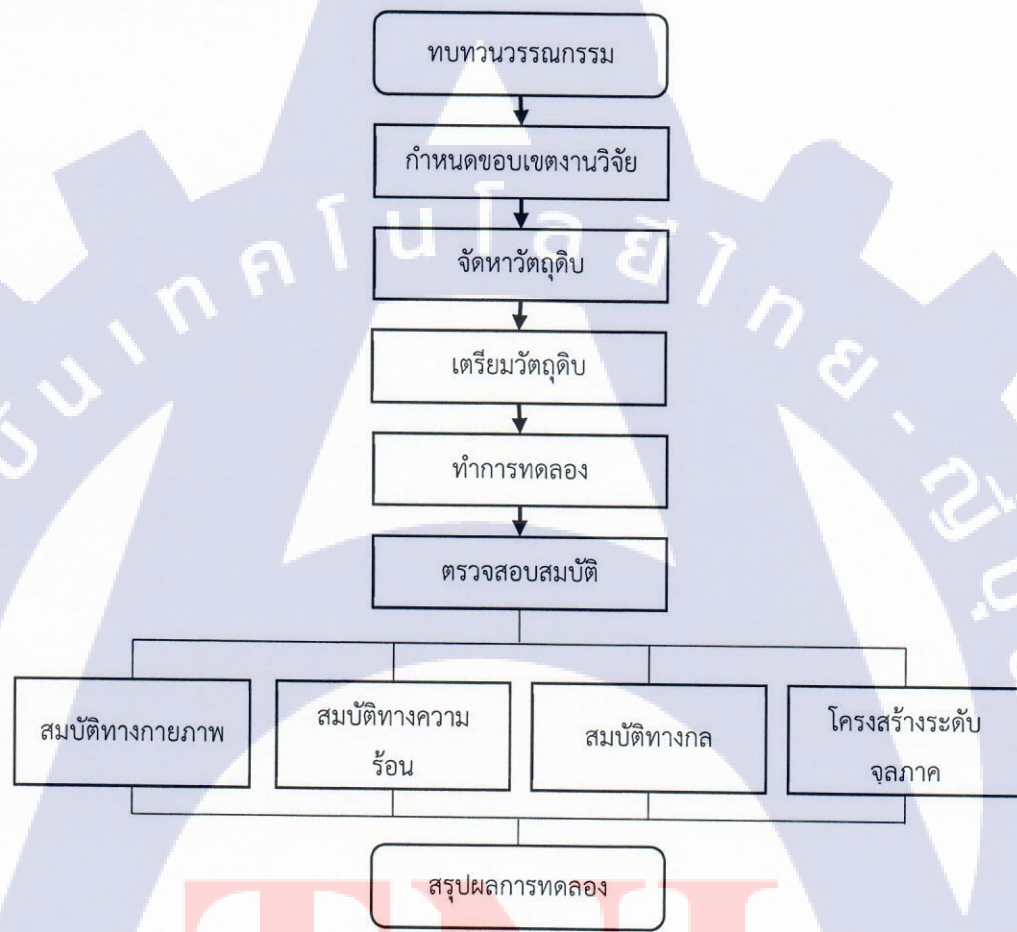
ตารางที่ 2.6 งานวิจัยที่เกี่ยวข้องกับการงานวิจัยถ่านชีวภาพ (ต่อ)

ผู้วิจัย / ปี	วัตถุดิบที่ใช้ผลิตถ่านชีวภาพ	ศึกษา	ผลสรุป
Torii et al [34]	วัตถุดิบสมรรถห่วงไม้ไผ่และถ่านซีดาร์ญี่ปุ่น	ความสัมพันธ์ระหว่างปริมาณคาร์บอนจากถ่านซีดาร์ญี่ปุ่นกับความต้านทานแรงอัดสูงสุดที่อุณหภูมิสูง	ความต้านทานแรงกดสูงสุดที่อุณหภูมิสูงจะมากขึ้นเมื่อปริมาณคาร์บอนจากถ่านซีดาร์ญี่ปุ่น
Fuchihata et al [33]	วัตถุดิบสมรรถห่วงกาแฟ เปลือกต้านนอกของเมล็ดกาแฟและเปลือกด้านในของเมล็ดกาแฟ	การสันดาปของถ่านชีวภาพ	1. ระยะเวลาช่วงก่อนและหลังการสันดาปส่งผลต่อประสิทธิภาพในการสันดาป 2. รอยร้าวที่เกิดขึ้นภายในถ่านชีวภาพส่งผลต่อประสิทธิภาพในการสันดาป
Mizuno et al [35]	ชาเขียว	ผลกระทบด้านกายภาพ (พื้นที่หน้าตัดของถ่านชีวภาพ) ต่อความต้านทานแรงอัดสูงสุดที่อุณหภูมิสูงสุดที่อุณหภูมิ 700 °C 2. พื้นที่หน้าตัดขนาดเล็กจะค่าความต้านทานแรงอัดสูงกว่าพื้นที่หน้าตัดขนาดใหญ่	1. ถ่านชีวภาพที่ผลิตจากชาเขียวจะมีความต้านทานแรงอัดสูงสุดที่อุณหภูมิสูงสุดที่อุณหภูมิ 700 °C 2. พื้นที่หน้าตัดขนาดเล็กจะค่าความต้านทานแรงอัดสูงกว่าพื้นที่หน้าตัดขนาดใหญ่

บทที่ 3

วิธีการดำเนินงานวิจัย

ขั้นตอนการดำเนินงานวิจัยเป็นไปตามแผนผังงานดัง รูปที่ 3.1



รูปที่ 3.1 แผนผังการดำเนินงาน

3.1 กำหนดขอบเขตงานวิจัย

งานวิจัยการผลิตถ่านชีวภาพจากกาแฟเพื่อวิเครื่องเผาถ่านชีวภาพโดยการอัดแน่นตั้ง กำหนดให้ศึกษาตัวแปรต่างๆ ดังต่อไปนี้

3.1.1 ตัวแปรต้น

- 1) เวลาที่ใช้ในการอัด แบ่งออกเป็น 3 เวลา ได้แก่ 10 นาที 15 นาที และ 20 นาที
- 2) ความดันที่ใช้ในการอัด แบ่งเป็น 4 ความดัน ได้แก่ 10 MPa 12 MPa 14 MPa และ 16 MPa
- 3) อุณหภูมิที่ใช้ในการอัด แบ่งเป็น 5 อุณหภูมิ ได้แก่ 150 °C 160 °C 170 °C 180 °C และ 190 °C

รวมทั้งหมดเป็น 60 กรณี ดัง ตารางที่ 3.1 โดยที่ในแต่ละกรณีจะทำการทดลองซ้ำ 2 ครั้ง จะได้ถ่านชีวภาพรวม 120 ตัวอย่าง เพื่อนำไปทำการทดสอบสมบัติต่างๆ ได้แก่ สมบัติทางกายภาพ สมบัติทางความร้อน และสมบัติทางกล

3.1.2 ตัวแปรตาม

- 1) ความหนาแน่นรวม (g/cm^3)
- 2) ค่าความร้อนที่วัดจาก Bomb Calorimeter (kcal/kg)
- 3) ค่าความต้านทานแรงอัดสูงสุด (MPa)

3.1.3 ตัวแปรควบคุม

- 1) ากกาแฟที่ใช้ในการทดลองเป็นชนิดราบิก้า ที่ปลูกในจังหวัดเชียงราย และผ่านกระบวนการซองแบบไทย
- 2) วัตถุดิบที่ใช้ผลิตถ่านชีวภาพมีความชื้นระหว่าง 5 - 10%

ตารางที่ 3.1 ตารางการทดลองที่สภาวะการผลิตต่างๆ

ลำดับ	เงื่อนไขการผลิต		
	เวลา (นาที)	อุณหภูมิ (°C)	ความดัน (MPa)
1	10	150	10
2	10	160	10
3	10	170	10
4	10	180	10
5	10	190	10
6	10	150	12
7	10	160	12
8	10	170	12
9	10	180	12
10	10	190	12
11	10	150	14
12	10	160	14
13	10	170	14
14	10	180	14
15	10	190	14
16	10	150	16
17	10	160	16
18	10	170	16
19	10	180	16
20	10	190	16

ตารางที่ 3.1 ตารางการทดลองที่สภาวะการผลิตต่างๆ (ต่อ)

ลำดับ	เงื่อนไขการผลิต		
	เวลา (นาที)	อุณหภูมิ (°C)	ความดัน (MPa)
21	15	150	10
22	15	160	10
23	15	170	10
24	15	180	10
25	15	190	10
26	15	150	12
27	15	160	12
28	15	170	12
29	15	180	12
30	15	190	12
31	15	150	14
32	15	160	14
33	15	170	14
34	15	180	14
35	15	190	14
36	15	150	16
37	15	160	16
38	15	170	16
39	15	180	16
40	15	190	16

ตารางที่ 3.1 ตารางการทดลองที่สภาวะการผลิตต่างๆ (ต่อ)

ลำดับ	เงื่อนไขการผลิต		
	เวลา (นาที)	อุณหภูมิ (°C)	ความดัน (Mpa)
41	20	150	10
42	20	160	10
43	20	170	10
44	20	180	10
45	20	190	10
46	20	150	12
47	20	160	12
48	20	170	12
49	20	180	12
50	20	190	12
51	20	150	14
52	20	160	14
53	20	170	14
54	20	180	14
55	20	190	14
56	20	150	16
57	20	160	16
58	20	170	16
59	20	180	16
60	20	190	16

3.2 การจัดหาวัตถุดิบ

วัตถุดิบที่นำมาใช้ทำการทดลองเป็นกาแฟเพื่อใช้แล้วจากร้านกาแฟโบราณแห่งหนึ่ง ซึ่งเป็นกาแฟชนิดอร่อยกับลูกที่จังหวัดเชียงราย ผ่านกระบวนการซึ่งไม่มีความดันเกี่ยวข้องในกระบวนการ ตัวอย่างกาแฟเพื่อใช้ในการศึกษาค่อนข้างรอบแห้งแสดงดังรูปที่ 3.2



รูปที่ 3.2 วัตถุดิบก่อนนำเข้าตู้อบ

3.3 การเตรียมวัตถุดิบเพื่อใช้ในการทดลอง

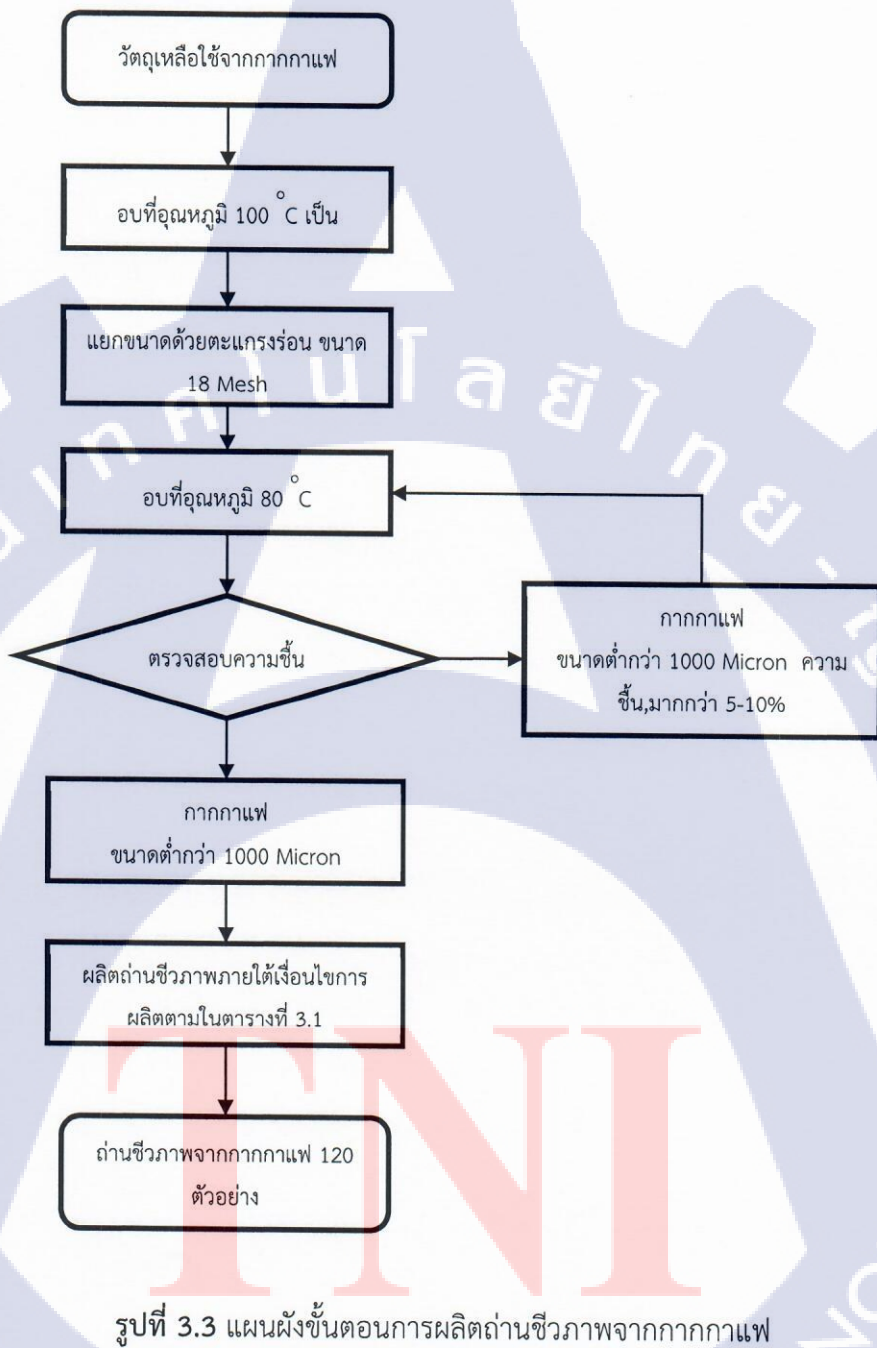
เนื่องจากกาแฟที่ได้รับมายังคงมีปริมาณความชื้นสูง ดังนั้นก่อนจะนำวัตถุดิบบีบเนื้ามาใช้จะต้องผ่านการอบที่อุณหภูมิ 100°C เป็นเวลา 24 ชั่วโมง เพื่อทำให้กาแฟแห้งพอที่จะนำไปแยกขนาดด้วยตะแกรงร่อนแยกขนาดได้ จากนั้นนำกาแฟมา_r่อนแยกขนาดด้วยตะแกรงร่อนขนาดเส้นผ่านศูนย์กลาง 20 นิว สูง 2 นิว ขนาด 18 Mesh

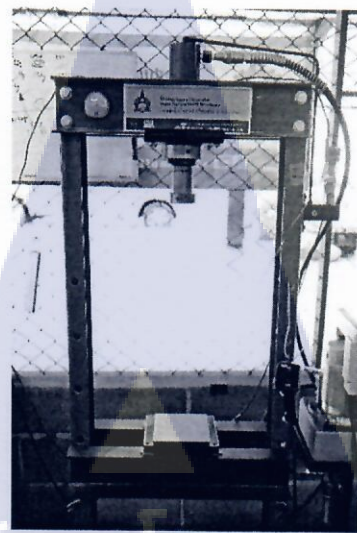
3.4 การทดลอง

รูปที่ 3.3 แสดงแผนผังขั้นตอนการผลิตถ่านชีวภาพจากการกาแฟ การทดลองผลิตถ่านชีวภาพจากการกาแฟนี้จะใช้เครื่องผลิตถ่านชีวภาพโดยการอัดแนตติ้ง ซึ่งแสดงส่วนประกอบดัง รูปที่ 3.4 และรูปที่ 3.5 โดยเครื่องดังกล่าวได้รับการอนุเคราะห์จาก Kinki University ประเทศญี่ปุ่น

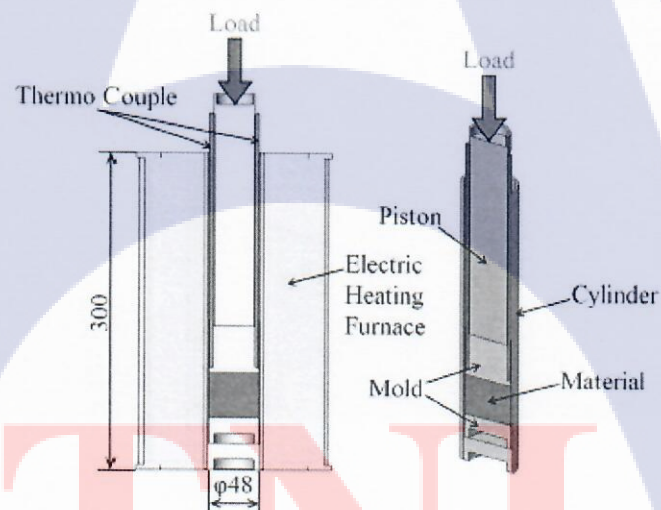
การทดลองเริ่มต้นจากการนำกาแฟที่ผ่านการแยกขนาดและอบจนได้ค่าความชื้นที่ต่ำกว่า 10% แล้ว ใส่เข้าในระบบอัดขนาดเส้นผ่านศูนย์กลางด้านใน 48 mm ความหนา 3 mm สูง 300 mm ที่หนุนด้วยแท่งทองเหลืองขนาดเส้นผ่านศูนย์กลาง 48 mm สูง 20 mm และปิดทับด้วยแท่งทองเหลืองขนาดเส้นผ่านศูนย์กลาง 48 mm สูง 50 mm มีช่องสำหรับใส่เทอร์โมคัปเปิล โดยที่

ก้อนทองเหลืองที่ปิดทับนี้มีเบา้าไว้สำหรับรองรับลูกสูบ จากนั้นทำการอัดด้วยไฮดรอลิกที่ความดันที่ต้องการ และใช้อีทเตอร์ไฟฟ้าครอบกรอบของลูกสูบ ทำการทดลองที่เงื่อนไขต่างๆ ตาม ตาราง 3.1





รูปที่ 3.4 ภาพถ่ายเครื่องผลิตถ่านชีวภาพโดยการอัดในแนวตั้ง ก่อนติดตั้งระบบออกอัดและอีทเตอร์ไฟฟ้า



รูปที่ 3.5 ภาพตัดขวางแสดงรายละเอียดของเครื่องผลิตถ่านชีวภาพโดยการอัดในแนวตั้ง [30]

3.5 การตรวจสอบสมบัติของถ่านชีวภาพ

ทำการตรวจสอบสมบัติของถ่านชีวภาพที่ผลิตจากการกาแฟ ได้แก่ ความหนาแน่นรวม (Bulk Density) ค่าความร้อน (Calorific value) ความต้านทานแรงอัดสูงสุด (Compressive Strength) โดยมีรายละเอียดดังนี้

3.5.1 สมบัติทางกายภาพ

สามารถหาได้จากการหาค่าความหนาแน่นรวมของถ่านชีวภาพจากการกาแฟที่ผลิตในแต่ละเงื่อนไขมาทำการซึ่งน้ำหนักและวัดความสูง จากนั้นคำนวณค่าความหนาแน่นรวมจาก สมการที่ 3.1

$$\text{ความหนาแน่นรวม} = \frac{\text{มวล}}{\text{ปริมาตร}} \quad (3.1)$$

โดยจะทำการวัดขนาดทั้ง 2 ตัวอย่างและนำมาหาค่าเฉลี่ยในทุกเงื่อนไขการทดลอง

3.5.2 สมบัติทางความร้อน

สามารถหาได้จากการวิเคราะห์ค่าความร้อนด้วย Bomb Calorimeter Parr รุ่น Model 1341 Plain Jacket และในรูปที่ 3.6 โดยจะทำการวิเคราะห์เงื่อนไขละ 1 ตัวอย่าง ตัวอย่างละ 3 ครั้ง มีวิธีการดังต่อไปนี้

- 1) ซึ่งถ่านชีวภาพให้มีน้ำหนักประมาณ 1 g ใส่ลงในถ้วยโลหะ และนำถ้วยโลหะวางลงในตัวแห่งน้ำไฟฟ้าของ Bomb
- 2) ใส่น้ำลงในลูก Bomb ประมาณ 1 มิลลิลิตร เพื่อให้เกิดการเผาไหม้ในบรรยากาศอีมตัวด้วยไอน้ำ
- 3) ตัดเส้นลวด Fuse Wire ความยาว 10 mm ต่อเข้ากับขั้วจุดระเบิด และงอเส้นลวดให้สัมผัสกับถ่านชีวภาพ
- 4) ประกอบฝาเข้ากับ Bomb โดยปิดฝาลูก Bomb ให้แน่นพอดี
- 5) อัดก๊าซออกซิเจนบริสุทธิ์เข้าในลูก Bomb อย่างช้าๆ โดยให้มีความดันประมาณ 25 บาร์ และปลด Release Valve เพื่อถ่ายก๊าซออกซิเจนส่วนเกินทิ้ง

- 6) ตวงน้ำกลิ้นจำนวน 2,000 cc โดยใช้ระบบอุกตรองใส่ลงในภาชนะสแตนเลส (Calorimeter Bucket) แล้วนำภาชนะดังกล่าวใส่ลงในถัง (Insulated Jacket) โดยวางภาชนะตามจุดล็อก
- 7) ต่อสายไฟฟ้า 2 เส้นที่ออกจากถังเข้ากับขั้วจุดระเบิดของ Bomb ซึ่งขั้วดังกล่าวจะต่อ กับเส้นลวดจุดระเบิด (Ignition Wire)
- 8) ต่อสายพานจากมอเตอร์เข้ากับแกนเพลาของใบกวาน (Stirrer) แล้วเปิดเครื่องเพื่อให้ใบ กวนทำงานประมาณ 3 นาที รอนอุณหภูมิของน้ำคงที่ สังเกตอุณหภูมิของน้ำจาก เทอร์โมมิเตอร์
- 9) กดปุ่มจุดระเบิด ทำการบันทึกอุณหภูมิด้วย Data Acquisition Systems ทุก 0.5 วินาที ซึ่งเชื่อมต่อกับ Resistance Temperature Detector (RTD) Band 3 Pt-100 จนเมื่อพบว่าอุณหภูมิคงที่มากกว่า 5 นาที
- 10) ถอนอุปกรณ์ออก ทำการวัดขนาดความยาวของลวดที่เหลือหลังการสันดาป (cm) คำนวณหาค่าความร้อนของสารตัวอย่างจาก สมการที่ 3.2

$$H_g = \frac{tW - e_1 - e_2 - e_3}{m} \quad (3.2)$$

โดย H_g คือ ค่าความร้อนของถ่านชีวภาพ (kcal/kg)

t คือ อุณหภูมิของน้ำที่เพิ่มขึ้น ($^{\circ}\text{C}$)

W คือ ค่าน้ำสมมูลของบ่มบ์แคลอริมิเตอร์

m คือ มวลของถ่านชีวภาพที่ใช้ในการทดสอบ (g)

e_1 คือ ค่าแก้ความร้อนที่เกิดจากการดันตริกในกระบวนการเผาไหม้ มีค่าเท่ากับ 23.9

e_2 คือ ค่าแก้ความร้อนที่เกิดจากการดันซัลฟูโริกที่เกิดในกระบวนการเผาไหม้ มีค่า เท่ากับ $13.7 \times 1.02 \times$ มวลของสารตัวอย่าง

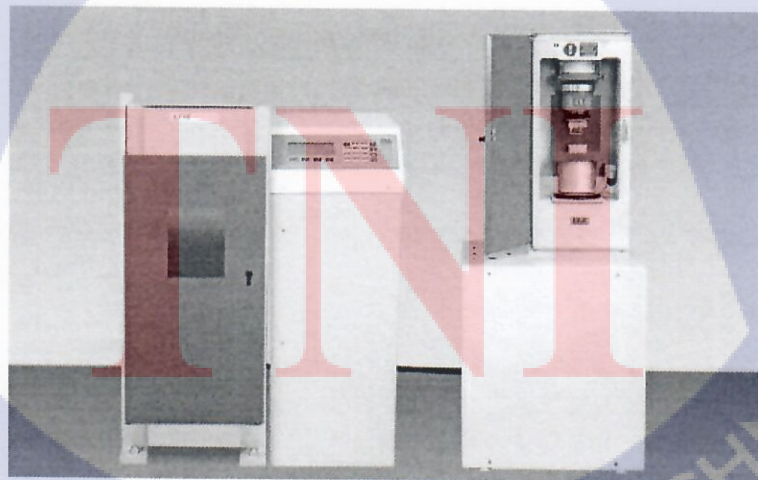
e_3 คือ ค่าแก้จากความร้อนที่เกิดจากการลูกไหม้ของชุดลวดตัวนำ มีค่าเท่ากับ $2.3 \times$ ความยาวของลวดที่ใช้จุดระเบิดในหน่วยเซนติเมตร



รูปที่ 3.6 ภาพถ่าย Bomb Calorimeter Parr รุ่น Model 1341 และ RTD Band 3 Pt-100

3.5.3 สมบัติทางกล

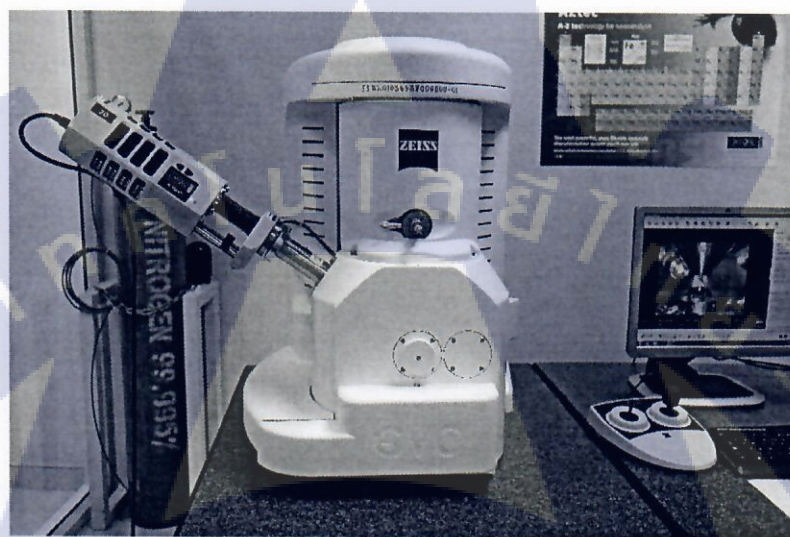
สามารถหาได้จากการทดสอบความต้านทานแรงอัด ด้วยเครื่อง Maximum Compressive Strength ADR-Auto V2.0 3000 BS EN Compression Machine



รูปที่ 3.7 ภาพถ่าย EL36-4145/01 ADR Auto 2000/250 EN Compression Machine [37]

3.5.4 โครงสร้างจุลภาค

ศึกษาโครงสร้างจุลภาคของถ่านชีวภาพด้วยกล้องจุลทรรศน์อิเล็กตรอนแบบส่องการดู (SEM) เพื่อเปรียบเทียบโครงสร้างจุลภาคของถ่านชีวภาพก่อนผลิต และหลังการผลิตถ่านชีวภาพ ซึ่งในกรณีการทดสอบคุณสมบัติทางกลสามารถทำได้แค่บางกรณี เนื่องจากข้อจำกัดทางด้านเครื่องมือทดสอบ รูปที่ 3.8 แสดงภาพเครื่อง Scanning Electron Microscope ที่ใช้ในงานวิจัยนี้

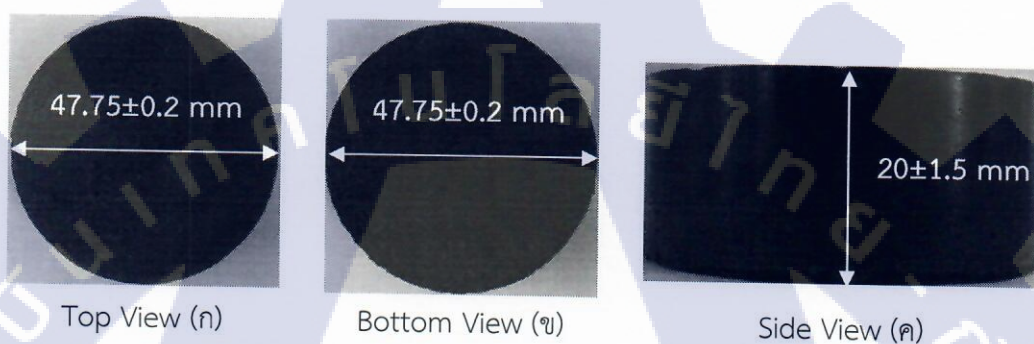


รูปที่ 3.8 ภาพถ่าย เครื่อง EVO MA10 Versatile Multipurpose SEM

บทที่ 4

การวิเคราะห์ผลการวิจัย

ถ่านชีวภาพที่ผลิตจากการกาแฟมีลักษณะเป็นก้อนทรงกระบอก เส้นผ่าศูนย์กลาง 47.75 ± 0.2 มิลลิเมตร สูง 20 ± 1.5 มิลลิเมตร โดยที่ถ่านชีวภาพที่เงื่อนไขการผลิตที่ต่างกันจะมีขนาดความสูง และน้ำหนักที่แตกต่างกัน รูปที่ 4.1 แสดงลักษณะ ด้านบน ด้านล่าง และด้านข้าง ของถ่านชีวภาพที่ผลิตจากการกาแฟ เงื่อนไขการผลิต 15 นาที ความดัน 16 MPa อุณหภูมิ 180°C



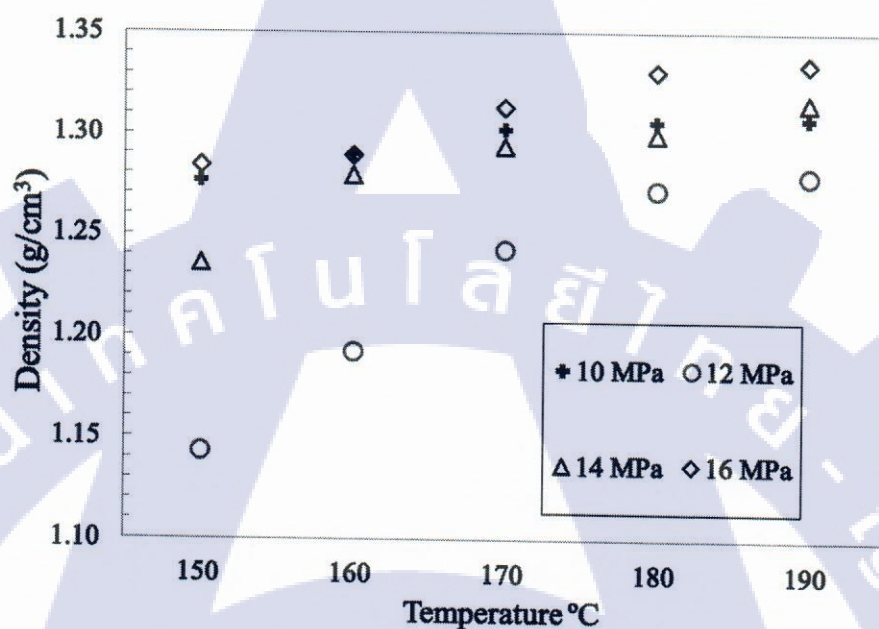
รูปที่ 4.1 ลักษณะของถ่านชีวภาพที่ผลิตจากการกาแฟ ที่ เวลา 15 นาที ความดัน 16 MPa อุณหภูมิ 180°C

4.1 สมบัติทางกายภาพของถ่านชีวภาพที่ผลิตจากการกาแฟ

การวิเคราะห์สมบัติทางกายภาพของถ่านชีวภาพในงานวิจัยนี้ ทำได้โดยใช้สมการที่ (3.1) การหาค่าความหนาแน่นรวม (Bulk Density) ของแต่ละเงื่อนไขการผลิตที่ต่างกันคือ เวลาที่ใช้ในการผลิต 10 15 และ 20 นาที ความดันที่ใช้ในการผลิต 10 12 14 และ 16 MPa อุณหภูมิที่ใช้ในการผลิต 150 160 170 180 และ 190°C

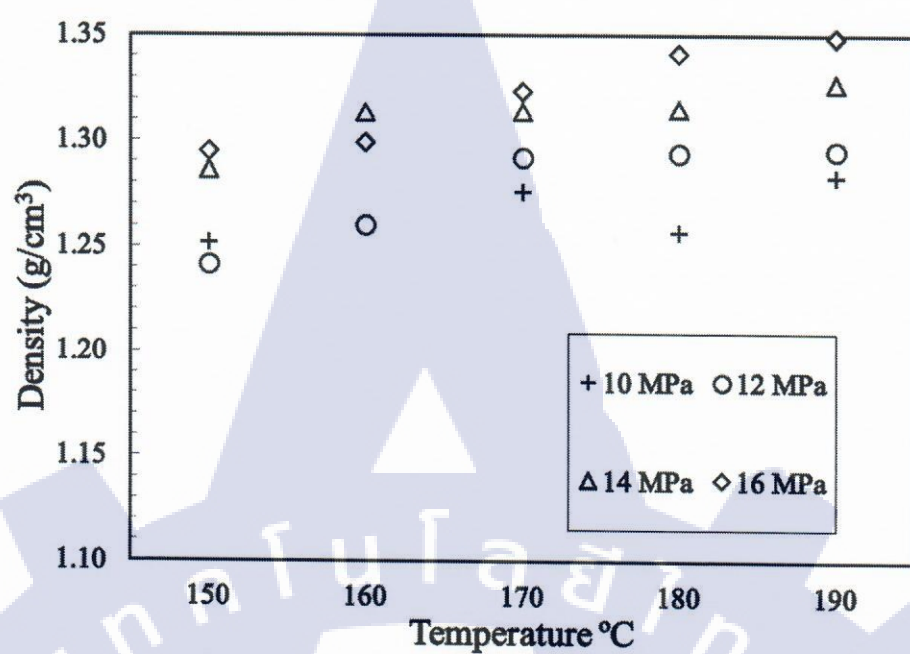
รูปที่ 4.2 รูปที่ 4.3 และรูปที่ 4.4 แสดงให้เห็นถึงผลกระทบของอุณหภูมิ และความดันที่ใช้ในการผลต่อค่าความหนาแน่นของถ่านชีวภาพที่สภาวะการผลิต 10 12 14 และ 16 MPa เป็นเวลา 10 นาที 15 นาที และ 20 นาที ตามลำดับ จากการวิเคราะห์พบว่าอุณหภูมิที่เพิ่มขึ้นส่งผลให้ค่าความหนาแน่นรวมของถ่านชีวภาพจากการกาแฟเพิ่มขึ้น ซึ่งค่าความหนาแน่นที่ได้จากการวิจัยการผลิตถ่านชีวภาพจากการกาแฟสอดคล้องกับทฤษฎีปัจจัยของอุณหภูมิที่มีผลต่อความหนาแน่นรวมที่เสนอโดย นคร ทิพยวงศ์ [14] จาก รูปที่ 4.2 แสดงให้เห็นว่าค่าความหนาแน่นรวมของถ่านชีวภาพที่ใช้ความดัน 10 MPa เวลา 10 นาที ในการผลิต มีค่าสูงกว่าที่ความดันอื่น เนื่องจากแรงดันที่และ

เวลาที่น้อยเกินไป ส่งผลให้การแตกตัวของเพกติน (Pectin) ลิกนิน (Lignin) เอมิเซลลูโลส (Hemicellulose) และสารโมเลกุลต่างๆในน้ำอย ทำให้การเกิดการยึดเกาะตัวกันน้อย สอดคล้องกับ น้ำหนักของถ่านชีวภาพที่ผลิตด้วยความดัน 10 MPa เวลา 10 นาทีนั้นมีค่าสูง เมื่อนำไปหารด้วย ปริมาตรของถ่านชีวภาพจากสมการ (3.1) จึงทำให้ค่าความหนาแน่นที่สูงกว่าที่ความดันการผลิตอื่น

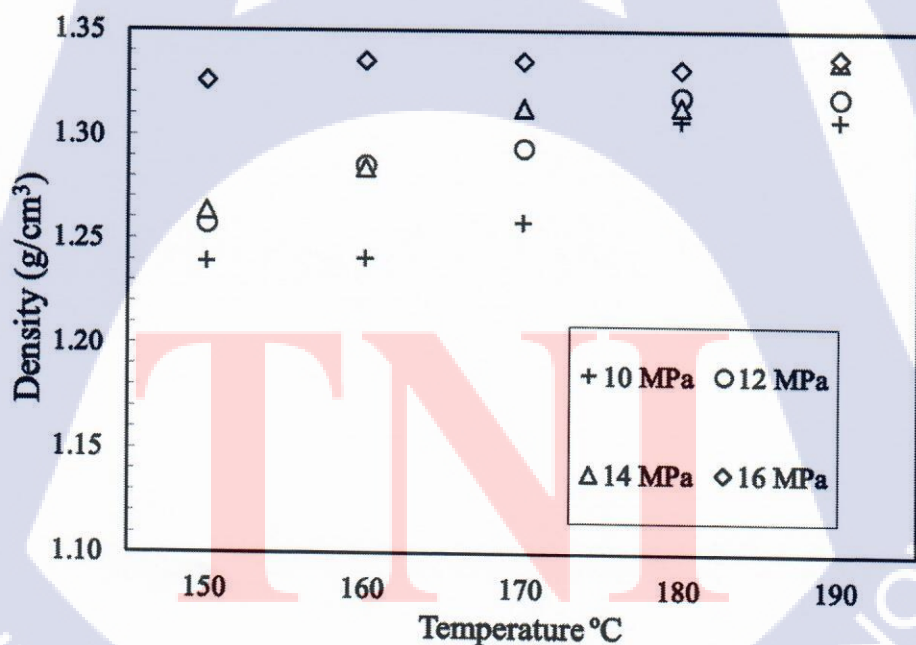


รูปที่ 4.2 ความสัมพันธ์ระหว่างค่าความหนาแน่นรวมของถ่านชีวภาพที่ผลิตจากการกาแฟและ อุณหภูมิที่ใช้ในการผลิต ที่ความดัน 10 12 14 และ 16 MPa เวลา 10 นาที

ความหนาแน่นรวมสูงสุดมีค่าเท่ากับ 1.349 g/cm^3 ที่ความดัน 16 MPa เมื่อใช้อุณหภูมิในการผลิต 190°C เวลา 15 นาที ดังแสดงใน รูปที่ 4.3 สาเหตุเนื่องจากการสลายตัวของเพกติน (Pectin) ลิกนิน (Lignin) เอมิเซลลูโลส (Hemicellulose) และสารโมเลกุลต่างๆ ในถ่านชีวภาพที่ ผลิตที่ความดัน 16 MPa อุณหภูมิ 190°C เวลา 20 นาที เกิดขึ้นมากกว่าการใช้เวลาในการผลิต 15 นาที ที่ความดันและอุณหภูมิเดียวกัน จึงได้ถ่านชีวภาพที่มีน้ำหนักน้อยกว่าเมื่อหารด้วยปริมาตรของ ถ่านชีวภาพทำให้ได้ค่าความหนาแน่นรวมที่ต่ำกว่าเวลา 15 นาทีเล็กน้อย ซึ่งความหนาแน่นรวมของ ถ่านชีวภาพที่ผลิตจากการกาแฟมีค่าใกล้เคียงกับถ่านชีวภาพที่ผลิตจาก Knotweed ของญี่ปุ่นในงาน ของ Ito et al [10] ในกรณีของผลกระทบของความดันที่ใช้ในการผลิตพบว่าความดันที่เพิ่มขึ้นมีผล ทำให้ความหนาแน่นเพิ่มขึ้นตาม เนื่องจากแรงกดในแนวตั้งส่งผลประสิทธิภาพการยึดเกาะตัวกัน ภายในถ่านชีวภาพนั้นเพิ่มขึ้น [14]



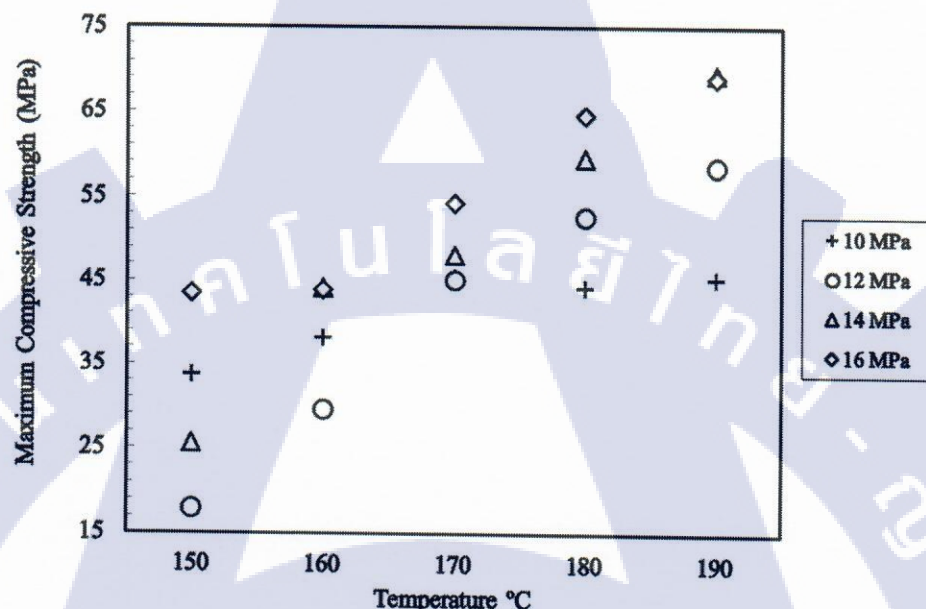
รูปที่ 4.3 ความสัมพันธ์ระหว่างค่าความหนาแน่นรวมของถ่านชีวภาพที่ผลิตจากการกาแฟและอุณหภูมิที่ใช้ในการผลิต ที่ความดัน 10 12 14 และ 16 MPa เวลา 15 นาที



รูปที่ 4.4 ความสัมพันธ์ระหว่างค่าความหนาแน่นรวมของถ่านชีวภาพที่ผลิตจากการกาแฟและอุณหภูมิที่ใช้ในการผลิต ที่ความดัน 10 12 14 และ 16 MPa เวลา 20 นาที

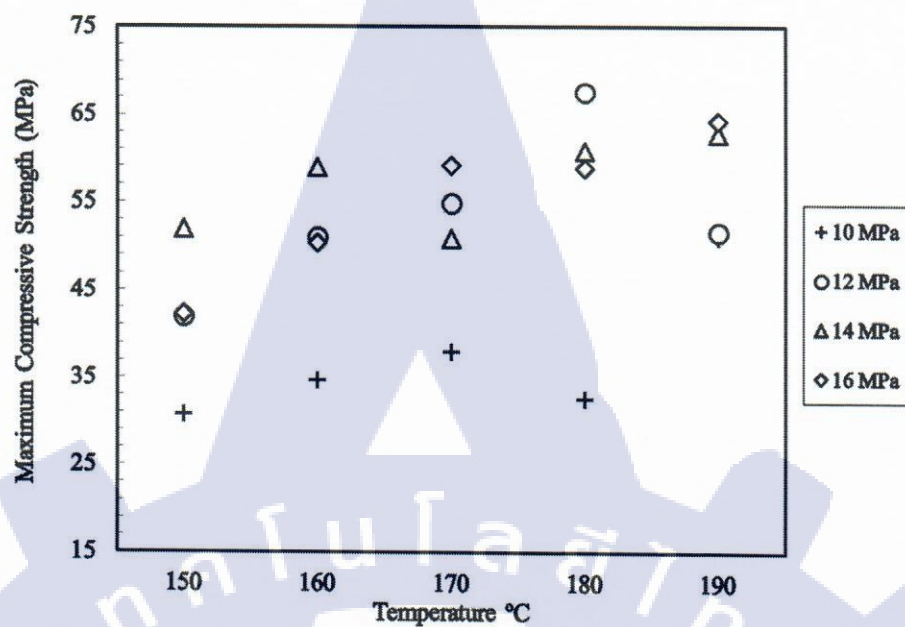
4.2 สมบัติทางกลของถ่านชีวภาพที่ผลิตจากกาражแฟ

การวิเคราะห์สมบัติทางกลของถ่านชีวภาพทำได้โดยการหาค่าความต้านทานแรงอัดสูงสุด (MPa) ด้วยเครื่อง EL36-4145/01 ADR Auto 2000/250 EN Compression Machine แสดงในรูปที่ 3.8

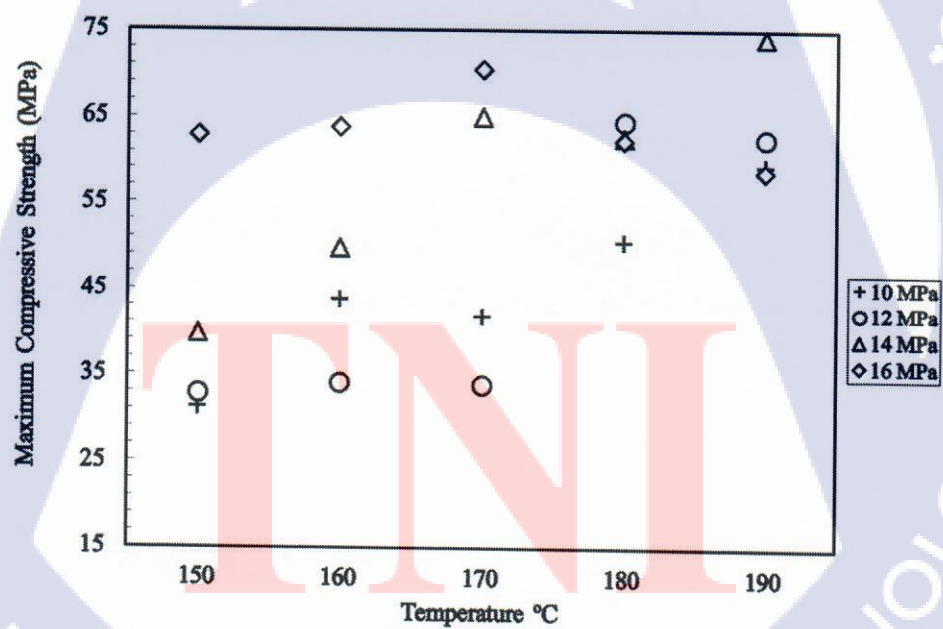


รูปที่ 4.5 ความสัมพันธ์ระหว่างความต้านทานแรงอัดสูงสุด (MPa) และอุณหภูมิที่ใช้ในการผลิต ที่ความดัน 10 12 14 และ 16 MPa เวลา 10 นาที

รูปที่ 4.5 รูปที่ 4.6 และ รูปที่ 4.7 แสดงผลค่าความต้านทานแรงอัดสูงสุดของถ่านชีวภาพจากกาражแฟที่เงื่อนไขการผลิต 10 นาที 15 นาที และ 20 นาที จากการวิเคราะห์ความสัมพันธ์ระหว่างอุณหภูมิ ความดันที่ใช้ในการผลิตและค่าความต้านทานแรงอัดสูงสุดพบว่า อุณหภูมิการผลิต ความดันการผลิต และระยะเวลาการผลิตที่เพิ่มขึ้นส่งผลโดยตรงต่อค่าความต้านทานแรงอัดสูงสุด ซึ่งเป็นสาเหตุจากการอ่อนตัวของสารประกอบ ลิกนิน และเอมิเซลลูโลส ที่โดยปกติแล้วหากชีวมวลมีความชื้นอยู่ภายใน จะทำให้เกิดการอ่อนตัวที่อุณหภูมิประมาณ $130 - 190^{\circ}\text{C}$ [14] จากรายงานของ Sawai et al กล่าวว่า หากถ่านชีวภาพมีความชื้น 15% เอมิเซลลูโลสจะเริ่มหลอมละลายที่อุณหภูมิ $120 - 130^{\circ}\text{C}$ ซึ่งผลจากการหลอมละลายนี้จะทำให้ระยะห่างระหว่างโมเลกุlnั้นลดลง ทำให้ถ่านชีวภาพมีค่าความต้านทานแรงอัดสูงสุดมาก โดยมีค่ามากที่สุดประมาณ 70 MPa เมื่อผลิตที่อุณหภูมิ 170°C ความดัน 16 MPa เป็นเวลา 20 นาที



รูปที่ 4.6 ความสัมพันธ์ระหว่างความต้านทานแรงอัดสูงสุด (MPa) และอุณหภูมิที่ใช้ในการผลิต ที่ความดัน 10 12 14 และ 16 MPa เวลา 15 นาที

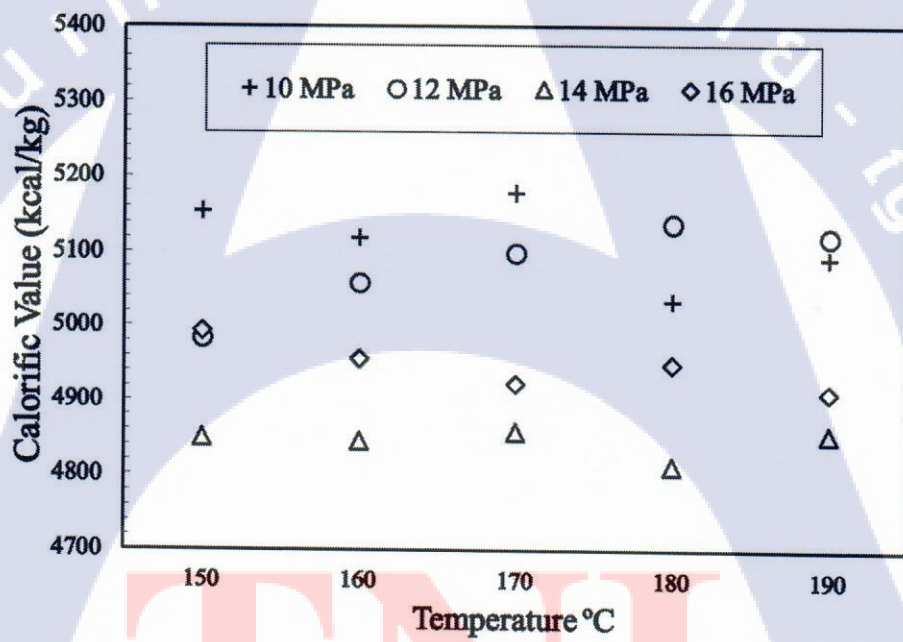


รูปที่ 4.7 ความสัมพันธ์ระหว่างความต้านทานแรงอัดสูงสุด (MPa) และอุณหภูมิที่ใช้ในการผลิต ที่ความดัน 10 12 14 และ 16 MPa เวลา 20 นาที

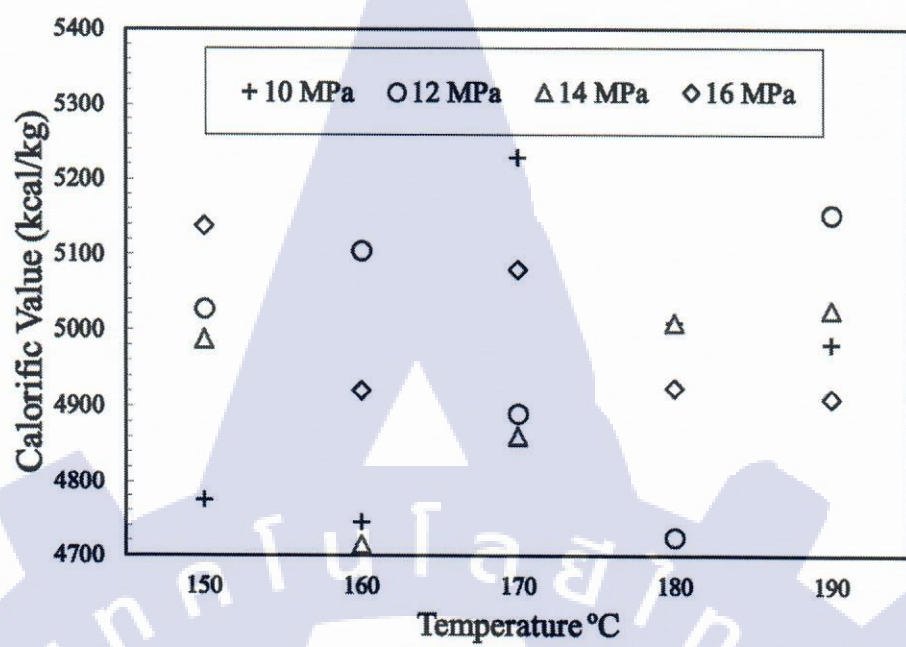
4.3 สมบัติทางความร้อนของถ่านชีวภาพที่ผลิตจากกาแฟแพะ

การวัดค่าความร้อน (Calorific Value) ในงานวิจัยนี้ใช้ Resistance Temperature Detector (RTD) Band 3 Pt-100 ในการวัดอุณหภูมิของน้ำที่เปลี่ยนไป และใช้ Data Acquisition Systems ในการเก็บข้อมูลที่มีความละเอียด $0.1\text{ }^{\circ}\text{C}$ ซึ่ง RTD จะมีความแม่นยำในช่วงอุณหภูมิที่ใช้งานเท่ากับ $0.11\text{ }^{\circ}\text{C}$ เมื่อเปรียบเทียบกับการคำนวณที่ใช้มวล 1 กรัม จะส่งผลให้ค่าความร้อนที่คำนวณได้จาก สมการ 3.7 มีความคลาดเคลื่อนเกิดขึ้นประมาณ $\pm 236\text{ kcal/kg}$

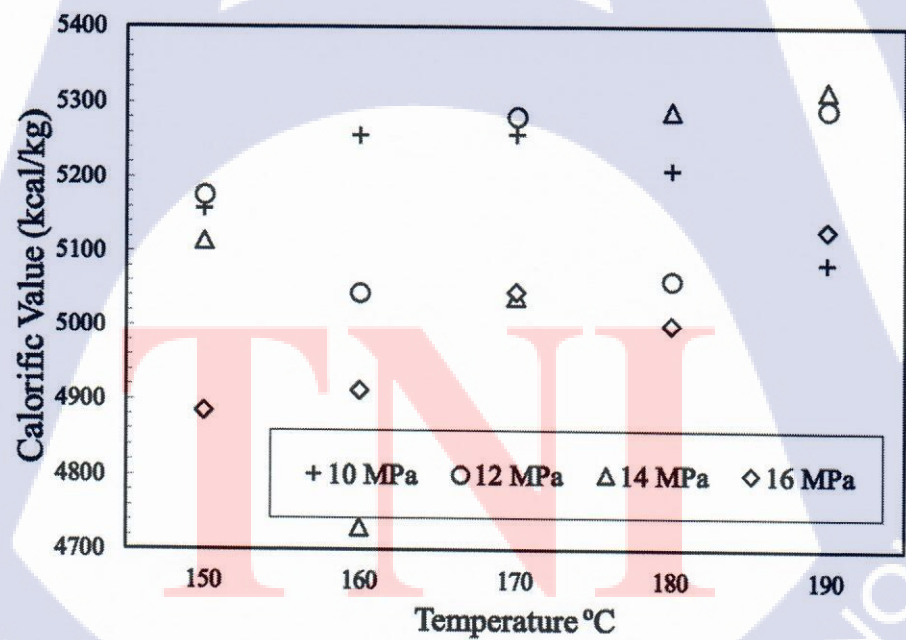
ผลกระทบของความดันและอุณหภูมิที่ใช้ในการผลิตต่อค่าความร้อน (Calorific Value) แสดงดังรูปที่ 4.8 - 4.10 โดยพบว่าค่าความร้อนของถ่านชีวภาพที่สภาพต่างๆ มีความแตกต่างกันอย่างมากและอยู่ในช่วงความคลาดเคลื่อนที่เกิดขึ้นจากการวัด จึงสามารถสรุปได้ว่าอุณหภูมิที่เพิ่มขึ้นไม่ส่งผลกระทบอย่างชัดเจนต่อค่าความร้อนของถ่านชีวภาพจากกาแฟในทุกเวลาการผลิต



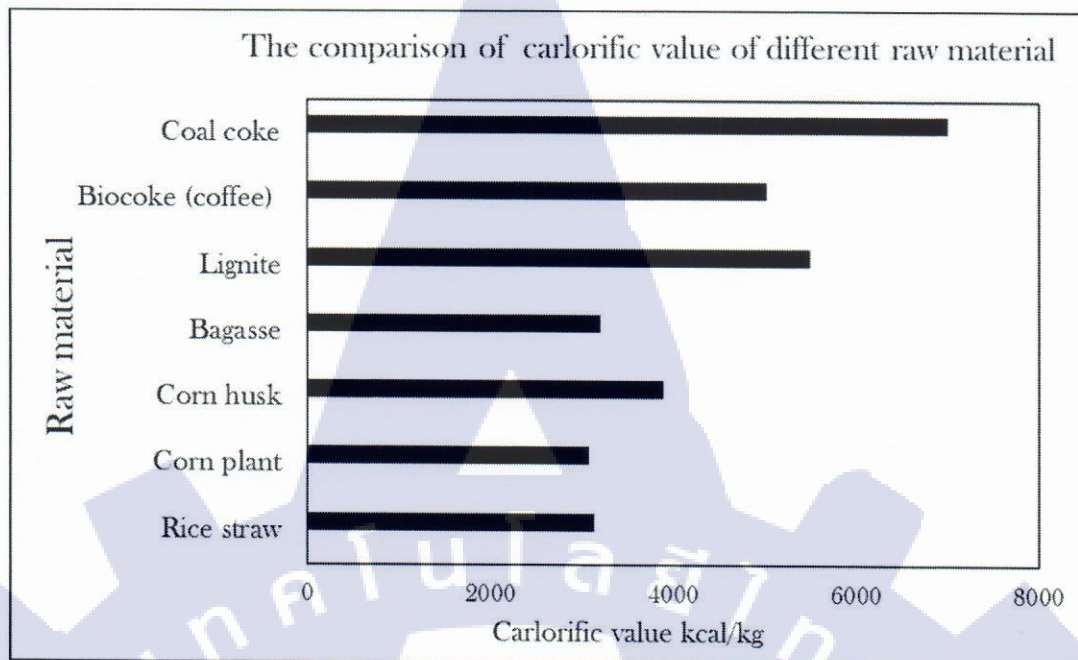
รูปที่ 4.8 ความสัมพันธ์ระหว่างค่าความร้อน และอุณหภูมิที่ใช้ในการผลิต ที่ความดัน 10 12 14 และ 16 MPa เวลา 10 นาที



รูปที่ 4.9 ความสัมพันธ์ระหว่างค่าความร้อน และอุณหภูมิที่ใช้ในการผลิต ที่ความดัน 10 12 14 และ 16 MPa เวลา 15 นาที



รูปที่ 4.10 ความสัมพันธ์ระหว่างค่าความร้อน และอุณหภูมิที่ใช้ในการผลิต ที่ความดัน 10 12 14 และ 16 MPa เวลา 20 นาที

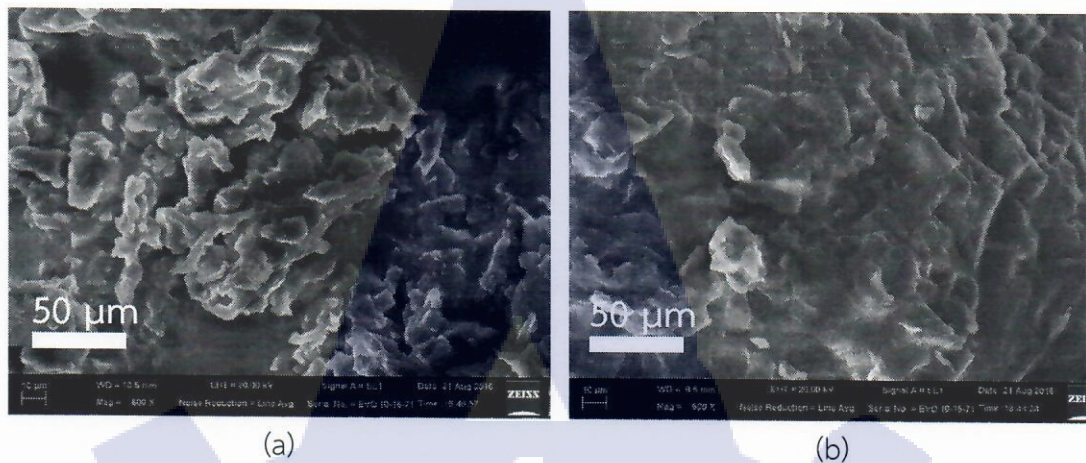


รูปที่ 4.11 การเปรียบเทียบค่าความร้อนของชีมวลชนิดต่างๆ ที่ใช้ในประเทศไทย [15]

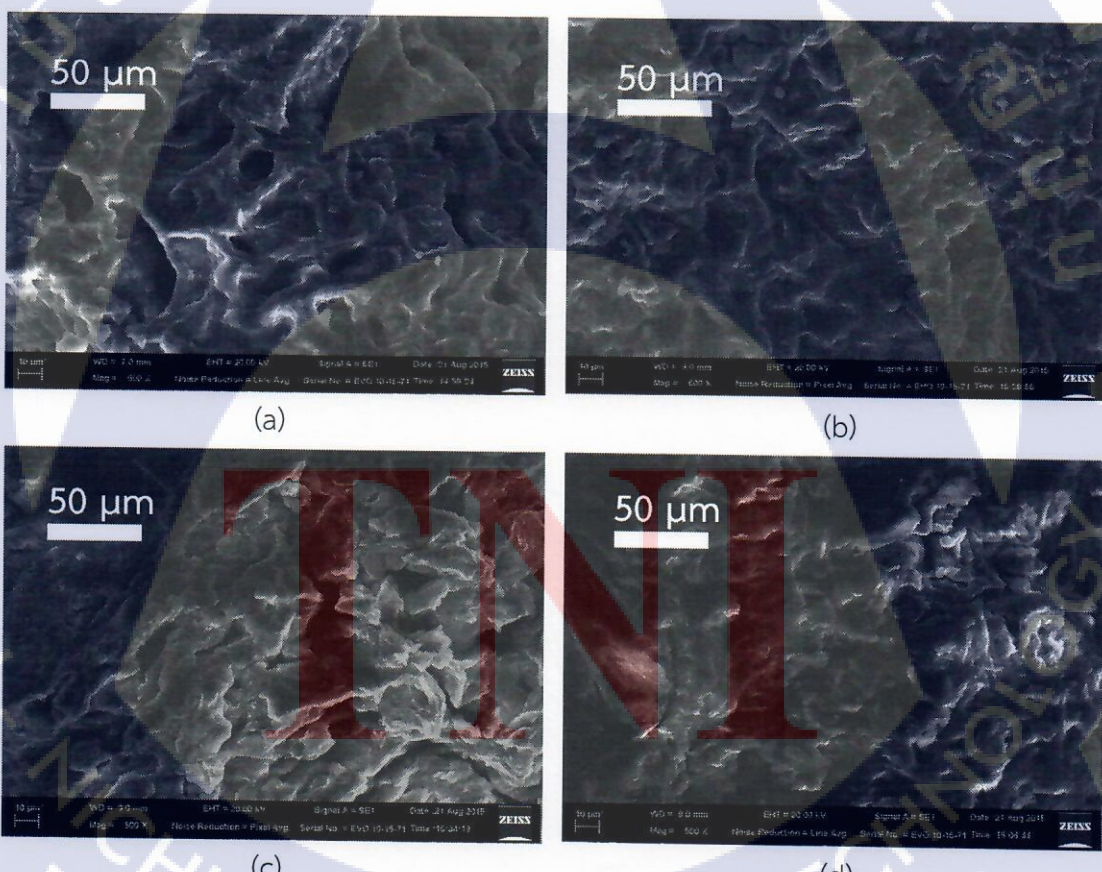
รูปที่ 4.11 แสดงค่าความร้อนของชีมวลชนิดต่างๆ ที่ซื้อญี่ปุ่นในประเทศไทย รวมไปถึงค่าความร้อนของถ่านลิกไนท์ จากภาพจะเห็นได้ว่าค่าความร้อนเฉลี่ยของถ่านชีวภาพที่ผลิตจากกาแฟที่ผลิตได้ในงานวิจัยนี้มีค่าใกล้เคียงกับค่าความร้อนของถ่านลิกไนท์ที่มีอยู่ในประเทศไทย และมีค่าความร้อนมากกว่าชีมวลประเภทอื่น เช่น พางข้าว ชานอ้อย ซังข้าวโพด อย่างเห็นได้ชัด แต่ยังมีค่าต่างจากถ่านโค้กเล็กน้อย

4.4 โครงสร้างระดับจุลภาคของถ่านชีวภาพที่ผลิตจากกาแฟ

รูปที่ 4.12 แสดงลักษณะพื้นผิวจากการภาพจลน์ Scanning Electron Microscope ของถ่านชีวภาพที่ยังไม่ผ่านการอัดขึ้นรูป และลักษณะพื้นผิวด้านในของถ่านชีวภาพจากการภาพที่ผ่านกระบวนการทดสอบแรงอัดมาแล้ว จากรูปจะเห็นได้ชัดเจนว่าหลังจากผ่านกระบวนการผลิตถ่านชีวภาพด้วยเครื่องอัดถ่านชีวภาพโดยการอัดในแนวตั้ง ที่เงื่อนไขการผลิต เวลา 20 นาที ความดัน 16 MPa อุณหภูมิ 180 °C ไม่เกิดขุ่นของกาแฟ เกิดการยึดเกาะตัวกันเป็นก้อน จากรูปจะเห็นได้ว่าหลังจากที่ผ่านกระบวนการอัดขึ้นรูปแล้ว ช่องว่างระหว่างไม้เลกุลลดลงอย่างเห็นได้ชัด เป็นผลมาจากการอพิธิพลของความร้อนและความดัน ที่ทำให้ถ่านชีวภาพ ยึดเกาะตัวกันมากขึ้น ทำให้มีความหนาแน่นสูง และสามารถต้านแรงอัดได้มากขึ้นอีกด้วย



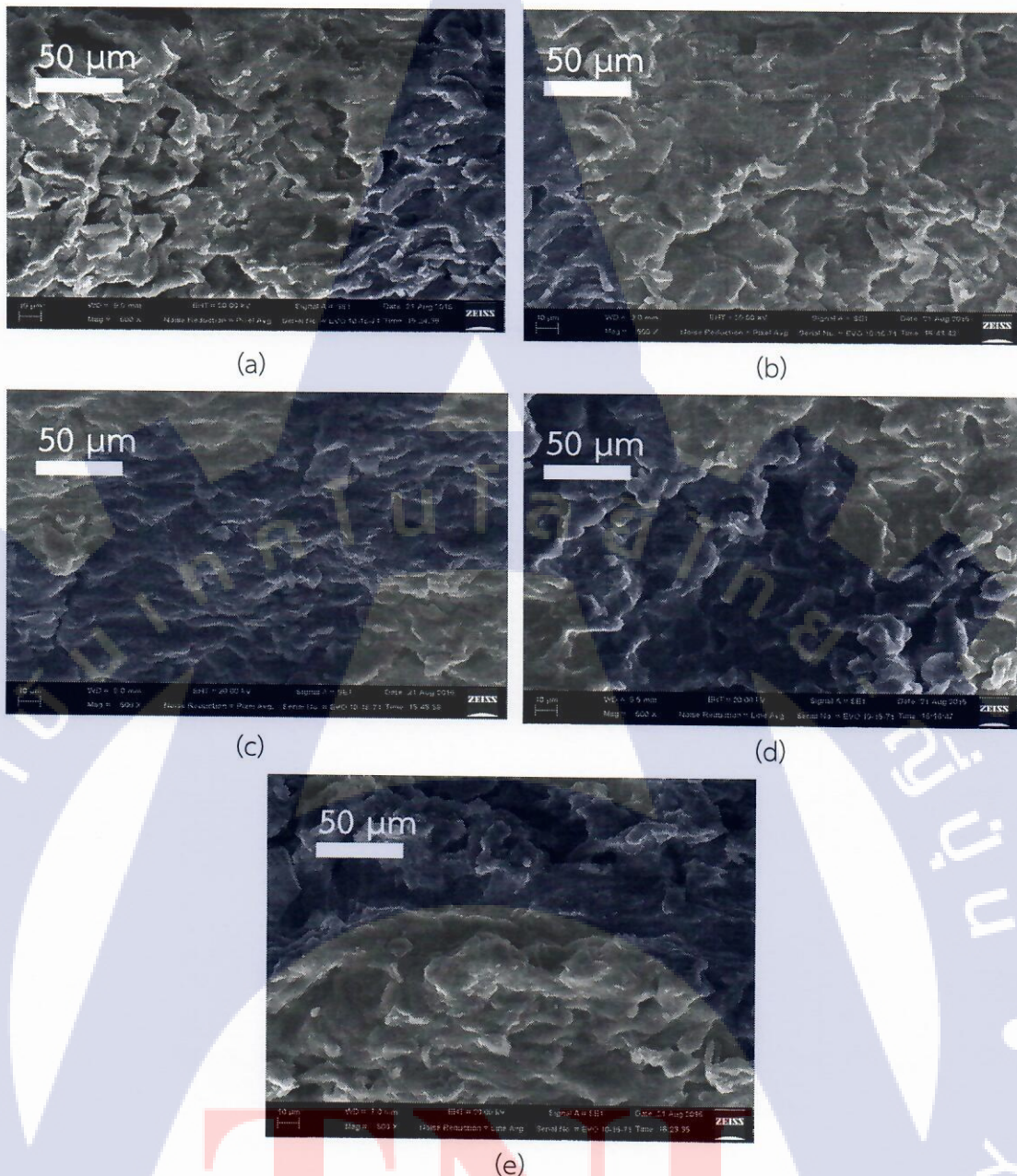
รูปที่ 4.12 ลักษณะพื้นผิวที่กำลังขยาย 500 เท่า (a) ลักษณะพื้นผิวของกาแกแฟก่อนผ่านกระบวนการผลิต (b) ลักษณะพื้นผิวของถ่านชีวภาพที่ผลิตจากกาแกแฟที่เงื่อนไขการผลิต เวลา 20 นาที ความดัน 16 MPa อุณหภูมิ 180 °C



รูปที่ 4.13 ลักษณะพื้นผิวของถ่านชีวภาพที่กำลังขยาย 500 เท่า เวลา 10 นาที อุณหภูมิ 180 °C
(a) 10 MPa (b) 12 MPa (c) 14 MPa (d) 16 MPa

จาก รูปที่ 4.13 ซึ่งแสดงลักษณะพื้นผิวของถ่านชีวภาพที่กำลังขยาย 500 เท่า เวลา 10 นาที อุณหภูมิ 180°C ที่ความดัน 10 MPa 12 MPa 14 MPa และ 16 MPa จะเห็นได้ว่า ที่ความดัน 10 MPa ซึ่งว่างที่พื้นผิวของถ่านชีวภาพมีลักษณะใหญ่กว่าซึ่งว่างพื้นผิวของถ่านชีวภาพที่ความดันอื่นอย่างเห็นได้ชัด สอดคล้องกับผลการทดสอบค่าความหนาแน่นรวมและค่าความต้านทานแรงอัดสูงสุด จากรูปที่ 4.5 และ รูปที่ 4.8 ซึ่งถ่านชีวภาพที่ใช้ความดัน 10 MPa ในการผลิต (ที่เวลาและอุณหภูมิเดียวกัน) มีค่าความหนาแน่นรวมและค่าความต้านทานแรงอัดสูงสุดต่ำที่สุด

รูปที่ 4.14 แสดงลักษณะพื้นผิวของถ่านชีวภาพที่แตกต่างกันในอุณหภูมิการผลิตที่ต่างกัน ที่เวลา 15 นาที ความดัน 16 MPa ซึ่งมีความแตกต่างกันในเรื่องขนาดของรูพรุน ในลักษณะเดียวกัน กับรูปแบบของความดันที่แตกต่างกัน ดังที่กล่าวก่อนหน้า คือขนาดของซึ่งว่างพื้นผิวของถ่านชีวภาพ จะมีขนาดลดลงเมื่ออุณหภูมิเพิ่มขึ้น และเมื่อพิจารณาลักษณะพื้นผิวของถ่านชีวภาพควบคู่กับค่าความหนาแน่นใน รูปที่ 4.3 และค่าความต้านทานแรงอัดสูงสุดใน รูปที่ 4.9 จะเห็นได้ว่ามีแนวโน้มไปในทางเดียวกันเช่นเดียวกัน



รูปที่ 4.14 ลักษณะพื้นผิวของถ่านชีวภาพที่กำลังขยาย 500 เท่า เวลา 15 นาที ความดัน 16 MPa

(a) 150 °C (b) 160 °C (c) 170 °C (d) 180 °C (e) 190 °C

4.5 สรุป

จากการวิเคราะห์สมบัติของถ่านชีวภาพที่ผลิตจากกระบวนการแพ็คชั่งตัน สามารถสรุปได้ว่า ปัจจัยที่มีผลต่อความหนาแน่นรวม และความต้านทานแรงอัดสูงสุด คืออุณหภูมิการผลิต และความตันการผลิต ตามลำดับ ซึ่งสมบัติทั้งสองนี้ มีความสัมพันธ์เป็นทางเดียวกันคือความต้านทานแรงอัดสูงสุดของถ่านชีวภาพจะสูงขึ้นเมื่อความหนาแน่นรวมมากขึ้น ด้วยเหตุผลที่ว่า เมื่ออุณหภูมิและการ

ผลิตสูงทำให้ไม่เลกุลของการกาแฟสามารถยึดเกาะตัวกันได้มากกว่า ซึ่งว่างของรูพรุนมีขนาดเล็กกว่าถ่านชีวภาพที่ผลิตด้วยอุณหภูมิและความดันต่ำ ส่งผลให้สามารถรับแรงอัดได้มากกว่า

ตารางที่ 4.1 การเปรียบเทียบสมบัติของถ่านชีวภาพ

	ความหนาแน่น (g/cm ³)	ความต้านทาน แรงอัดสูงสุด (MPa)	ความต้านทาน แรงอัดสูงสุดที่ ความดันสูง (MPa)	ค่าความร้อน
ถ่านชีวภาพจากการกาแฟ (10 นาที, 190 °C, 16 MPa)	1.33	69	N/A	4910
ถ่านชีวภาพจากกิงไม้ดันบัวย และพลับ [31]	N/A	100-110	N/A	N/A
ถ่านชีวภาพจากสมุนไพรของ ญี่ปุ่น [32]	1.38	127	N/A	N/A
ถ่านชีวภาพจากบล็อกเชอร์ [33]	N/A	130	N/A	N/A
ถ่านชีวภาพจากไม้ไผ่ผสมไม้ชี ดาร์ญี่ปุ่น [35]	1.39	110	2	N/A
ถ่านโค้ก [24]	1.1	20	N/A	7,000

ตารางที่ 4.1 แสดงสมบัติของถ่านชีวภาพ ผลิตจากวัตถุดิบต่างๆ ในงานวิจัยก่อนหน้า
งานวิจัยขึ้นนี้ และสมบัติของถ่านโค้ก ถ่านโค้กมีค่าความหนาแน่น 1.1 g/cm³ และความต้านทาน
แรงอัดสูงสุดที่ 20 MPa ซึ่งจากการทดลองพบว่าสมบัติดังกล่าวของถ่านชีวภาพจากการกาแฟมีค่า
สูงกว่าของถ่านโค้กค่อนข้างมาก แต่เมื่อเทียบผลดังกล่าวกับถ่านชีวภาพจากงานวิจัยก่อนหน้าพบว่า
ค่าความต้านทานแรงอัดสูงสุดนั้นยังมีความแตกต่างกันเกือบทุกตัว เนื่องจากวัตถุดิบที่ใช้มีขนาด
อนุภาคต่างกัน จากความสัมพันธ์ระหว่างขนาดอนุภาคของวัตถุดิบกับความต้านทานแรงกดสูงสุดใน
งานของ Torii et al [34] แสดงให้เห็นว่าถ่านชีวภาพที่ผลิตจากวัตถุดิบขนาดเล็กจะมีค่าความ
ต้านทานแรงอัดสูงสุดต่ำกว่าวัตถุดิบขนาดใหญ่ และเมื่อเปรียบเทียบค่าความร้อนของถ่านชีวภาพจาก
การกาแฟและถ่านโค้กพบว่ามีความแตกต่างกันเล็กน้อย

บทที่ 5

สรุปผลการวิจัย

5.1 สรุปผลการวิจัย

งานวิจัยนี้ทำการศึกษาผลกระทบของสภาวะการผลิต ได้แก่ เวลาที่ใช้ในการผลิต แบ่งเป็น 3 เวลา คือ 10 นาที 15 นาที และ 20 นาที ความดันที่ใช้ในการผลิต คือ 10 MPa 12 MPa 14 MPa และ 16 MPa และอุณหภูมิที่ใช้ในการผลิต คือ 150 °C 160 °C 170 °C 180 °C และ 190 °C ต่อสมบัติทางกายภาพ (Physical Property) ได้แก่ ความหนาแน่นรวม (Bulk Density) สมบัติทางความร้อน (Calorific Property) ได้แก่ ค่าความร้อน (Calorific Value) และสมบัติทางกล (Mechanical Property) ได้แก่ ค่าความต้านทานแรงอัดสูงสุด (Maximum Compressive Strength) ของถ่านชีวภาพที่ผลิตจากกาแฟ ซึ่งเป็นก้าแฟชันดอร์บิก้าปลูกที่ทางเหนือของประเทศไทยและผ่านกระบวนการซองแบบไทย (กาแฟโบราณ) ซึ่งสามารถสรุปได้จากการวิเคราะห์คุณสมบัติทั้งสามประการได้จากการหาค่าความหนาแน่นรวม ค่าความร้อน และค่าความต้านทานแรงกดสูงสุดของถ่านชีวภาพ

5.1.1 ปัจจัยที่มีผลต่อสมบัติทางกายภาพ (Physical Property)

ปัจจัยที่ส่งผลกระทบโดยตรงต่อความหนาแน่นรวมของถ่านชีวภาพจากกาแฟ คือ อุณหภูมิที่ใช้ในการผลิต ความดันที่ใช้ในการผลิต และ เวลาที่ใช้ในการผลิตตามลำดับ โดยที่มีความสัมพันธ์ในเชิงบวก กล่าวคือ ถ่านชีวภาพจะมีความหนาแน่นรวมสูงเมื่ออุณหภูมิ ความดันและเวลา ในการผลิตเพิ่มขึ้น

5.1.2 ปัจจัยที่มีผลต่อสมบัติทางความร้อน (Calorific Property)

ปัจจัยที่ส่งผลกระทบต่อค่าความร้อนของถ่านชีวภาพ คือ ความดันและเวลาที่ใช้ในการผลิต โดยที่ความดันที่ใช้ในการผลิตนั้นส่งผลเชิงลบต่อค่าความร้อนของถ่านชีวภาพ ซึ่งหมายความว่าหากความดันในการผลิตเพิ่มขึ้นจะทำให้ค่าความร้อนของถ่านชีวภาพลดลง แต่ค่าความร้อนจะมีค่าสูงขึ้น เมื่อเวลาในการผลิตมากขึ้น แต่ปัจจัยทั้งสองที่กล่าวมานี้ส่งผลเพียงเล็กน้อยต่อค่าความร้อนของถ่านชีวภาพจากกาแฟ

5.1.3 ปัจจัยที่มีผลต่อสมบัติทางกล (Mechanical Property)

ปัจจัยที่ส่งผลกระทบต่อค่าความต้านทานแรงอัดสูงสุด คือ อุณหภูมิ ความดันและเวลาที่ใช้ในการผลิตตามลำดับ โดยทั่วสามปัจจัยการผลิตนี้ส่งผลในเชิงบวกต่อค่าความต้านทานแรงอัดสูงสุด ถ้าเข้ามาจากการก้าแฟจะมีค่าความต้านทานแรงอัดสูงสุดมากหากใช้อุณหภูมิและความดันสูงในการผลิต ในกรณีของเวลาที่ใช้ในการผลิตจะส่งผลเพียงเล็กน้อยต่อค่าความต้านทานแรงกดสูงสุด

นอกเหนือจากการสรุปปัจจัยการผลิตที่ส่งผลต่อสมบัติต่างๆ ของถ่านชีวภาพแล้ว งานวิจัยนี้ยังสามารถสรุปได้อีกว่าสมบัติทางกายภาพและสมบัติทางกลมีความสัมพันธ์เชิงบวกต่อกัน

โดยพบว่า ถ่านโดยมีค่าความหนาแน่น 1.1 g/cm^3 ค่าความต้านทานแรงอัดสูงสุด 20 MPa และมีค่าความร้อน $7,000 \text{ kcal/kg}$ ซึ่งจากการทดลองในกรณีของค่าความหนาแน่น ถ่านชีวภาพที่ผลิตจากกากกาแฟทุกเงื่อนไขการผลิตมีค่ามากกว่าความหนาแน่นของถ่านโค้ก และมีค่าความต้านทานแรงอัดสูงสุดสูงกว่าถ่านโค้กทุกราย ยกเว้นกรณีที่ใช้เวลาในการผลิต 10 นาที ความดัน 12 MPa ความร้อน 150°C ในการผลิต และมีค่าความร้อนต่ำกว่าถ่านโค้กเล็กน้อยในทุกราย

สภาพการผลิตที่เหมาะสมที่สุดที่ได้จากการวิจัยนี้ คือ อุณหภูมิการผลิต 190°C ความดัน 16 MPa เวลา 10 นาที เนื่องจากสภาพการผลิตดังกล่าวมีค่าความหนาแน่นและค่าความต้านทานแรงอัดสูงสุดของถ่านโดยอย่างมาก และมีค่าความร้อนใกล้เคียงกับสภาพการผลิตอื่นๆ ดังนั้นจึงพิจารณาที่เวลาที่ใช้ในการผลิต ซึ่งหากนำไปต่อยอดการผลิตในปริมาณมาก เวลาในการผลิตเป็นปัจจัยสำคัญที่จะส่งผลต่อต้นทุนในการผลิต

เนื่องจากการวิจัยนี้เป็นการทดลองขั้นต้นเพื่อนำผลที่ได้ไปวิเคราะห์และทำการทดลองเพิ่มเติม ซึ่งจำเป็นจะต้องมีการทดลองอีกหลายขั้นตอน ก่อนจะนำเข้าสู่การผลิตในอุตสาหกรรม

5.2 แนวทางการทำวิจัยต่อเนื่อง

- 1) ทำการวิเคราะห์โครงสร้างของวัตถุดิบและถ่านชีวภาพที่ได้ด้วย Fourier Transform Infrared Spectrometer เพื่อศึกษาการเปลี่ยนแปลงโครงสร้างทางเคมีของผลิตภัณฑ์ที่ได้และวิเคราะห์ผลกระทบต่อสมบัติต่างๆ ของของถ่านชีวภาพเพิ่มเติม
- 2) ทำการทดลองเพิ่มเติมที่อุณหภูมิการผลิตที่สูงขึ้น เพื่อดูแนวโน้มค่าความร้อนของถ่านชีวภาพ
- 3) ทำการศึกษาการผลิตถ่านชีวภาพจากกากกาแฟ โดยผสมกับวัสดุเหลือใช้ทางการเกษตร อาทิ เช่น แกลบ ฟางข้าว ซึ่งมีอยู่มากในประเทศไทย เพื่อปรับปรุงสมบัติต่างๆ ของถ่านชีวภาพให้เหมาะสมกับการใช้งานในอุตสาหกรรม



บรรณานุกรม

- [1] BP PLC, “*BP Statistical Review of World Energy*,” [Online] Available: <http://www.bp.com/content/dam/bp/pdf/Energy-economics/statistical-review-2014/BP-statistical-review-of-world-energy-2014-full-report.pdf>. [Accessed: Dec. 10, 2014].
- [2] International Energy Agency, “*South East Asia Energy Outlook*,” [Online] Available: http://www.iea.org/publications/freepublications/publication/southeastasiaenergyoutlook_weo2013specialreport.pdf. [Accessed: Dec. 10, 2014].
- [3] Department of Alternative Energy Development and Efficiency, “*Thailand Energy Statistics 2013*,” [Online] Available: http://www.dede.go.th/dede/images/stories/stat_dede/report13/statistics2556r_p.pdf. [Accessed: Jan. 3, 2015]
- [4] E. Dlugokencky and P. Tans “*Trends in Atmospheric Carbon Dioxide*,” National Oceanic and Atmospheric Administration [Online] Available: <http://www.esrl.noaa.gov/gmd/ccgg/trends/ff.html>. [Accessed: Mar. 14, 2015]
- [5] Department of Alternative Energy Development and Efficiency, “*Thailand Alternative Energy Situation 2013*,” [Online] Available: http://www.dede.go.th/dede/images/stories/stat_dede/report13/alternative%20energy2013%20.pdf. [Accessed: Jan. 3, 2015]
- [6] Federal Ministry for Economic Affairs, “*Thailand: Renewable Energy Policy Update*,” [Online] Available: http://www.thai-german-cooperation.info/download/20150520_pdp_re_%20policy%20factsheet.pdf [Accessed: Sep. 9, 2015]
- [7] L. J. Jönsson et al., “Bioconversion of lignocellulose: inhibitors and detoxification,” *Biotechnology for Biofuels*, vol. 6, pp.1-10, January, 2013.
- [8] International Coffee Organization, “*Statistics on Coffee*,” [Online] Available: <http://www.ico.org/historical/2010-19/PDF/TOTPRODUCTION.pdf>. [Accessed: Jan. 3, 2015].

- [9] N. Kondamudi et al., "Spent Coffee Grounds as a Versatile Source of Green Energy," *Journal of Agricultural and Food Chemistry*, vol. 56, pp. 11757–11760, December, 2008.
- [10] A. Farah, "Coffee: Emerging Health Effects and Disease Prevention," John Wiley & Sons, [Online] Available: <http://onlinelibrary.wiley.com/doi/10.1002/9781119949893.ch2/summary> [Accessed: Jun. 14, 2015].
- [11] H. Ito et al., "Ignition Behavior of Bio-Coke (Highly Densified Biomass Fuel) in High-Temperature Air Flows," *Journal of Thermal and Technology*, vol.6, no. 1 pp. 111-122, November, 2011.
- [12] สุพิชญา เข็ดเกียรติกุล, "ผลกระทบของขนาดอนุภาคต่อสมบัติของถ่านชีวภาพจากกาแฟ," *The 3rd National Interdisciplinary Academic Conference, TNIAc2015*, กรุงเทพมหานคร, 15 พฤษภาคม 2558, หน้า 66.
- [13] A. S. Franca and L. S. Oliveira., "Coffee Processing Solid Wastes: Current Uses and Future Perspectives," *Agricultural Wastes Nova Science Publisher*, vol.1, pp. 155-189, 2009.
- [14] Molecular Expressions Cell Biology and Microscopy Structure and Function of Cells & Viruses, "Plant Cell Wall," [Online] Available: <http://micro.magnet.fsu.edu/cells/plants/cellwall.html>. [Accessed: Jun. 7, 2015].
- [15] นคร พิพิยาวงศ์, พลังงานชีวภาพ: เทคโนโลยีการแปลงสภาพชีวมวล, กรุงเทพ: สำนักพิมพ์ ส.ส.ท., 2553.
- [16] A. Brandt et al., "Deconstruction of lignocellulosic biomass with ionic liquids," *Royal Society of Chemistry*, December, 2012 [Online] Available: <http://pubs.rsc.org/en/content/articlehtml/2013/gc/c2gc36364j>. [Accessed: Jan. 27, 2015].
- [17] สำนักนโยบายและแผนพลังงาน กระทรวงพลังงาน, "ชีวมวล," [Online] Available: <http://www.eppo.go.th/engy/Load/ET08.pdf>. [Accessed: Jan. 3, 2015].
- [18] ศูนย์วิจัยเทคโนโลยีพลังงานเพื่อสิ่งแวดล้อม คณะวิศวกรรมศาสตร์ มหาวิทยาลัยเชียงใหม่, "เชื้อเพลิงชีวมวลอัดเม็ด," [Online] Available: http://www.etec.etc.cmu.ac.th/article_detail.php?aid=13.

- [19] Vietnam Trading Promotion, “*Wood Pellet with High Quality*,” [Online] Available: <http://www.vtraco.com/0504-16-Wood-pellet-with-High-Quality>. [Accessed: Feb. 8, 2015].
- [20] สำนักนโยบายและแผนพลังงาน กระทรวงพลังงาน, “*พลังงานจากขยะ*,” [Online] Available: <http://www.eppo.go.th/engy/Load/ET13.pdf>. [Accessed: Jan. 3, 2015].
- [21] Pollution Prevention and Abatement Handbook, “*Coke Manufacturing*,” [Online] Available: http://www.ifc.org/wps/wcm/connect/9ecab70048855c048ab4da/6a6515bb18/coke_PPAH.pdf?MOD=AJPERES. [Accessed: Feb. 8, 2015].
- [22] เทคโนโลยีอิเล็กทรอนิกส์ มหาวิทยาลัยจันทร์เกษม, “*กรรมวิธีผลิตเหล็กกล้า*,” [Online] Available: <http://www.elecnet.chandra.ac.th/courses/ELEC2101/termwork/iron/iron2.html>. [Accessed: Feb. 8, 2015].
- [23] Energy Business Directory, “*Foundry Coke Coal*,” [Online] Available: http://www.isplc2006.org/b2b/energy/6/foundry_coke_coal_253.html. [Accessed: Feb. 8, 2015].
- [24] Mizuho Information and Research Institute, “*Project for Promoting the Spread of Technologies to Counter Global Warming*,” [Online] Available: <http://www.meti.go.jp/metilib/report/2015fy/001062.pdf>. [Accessed: Jun. 8, 2015].
- [25] กรมพัฒนาพลังงานทดแทนและอนุรักษ์พลังงาน, “*เตาอุตสาหกรรม*,” [Online] Available: http://www2.dede.go.th/bhrd/old/Download/file_handbook/Pre_Fac/Fac_14.pdf. [Accessed: Feb. 8, 2015].
- [26] เดชะ ตันมีสุข และ วรangคณา สุขสม, “*ค่าความร้อนเชื้อเพลิง: ปฏิบัติการเคมี*,” กรุงเทพฯ: สถาบันเทคโนโลยีไทยญี่ปุ่น, 2558.
- [27] มหาวิทยาลัยราชภัฏสวนสุนันทา “*ความหนาแน่น*,” [Online] Available: http://www.teacher.ssru.ac.th/reudee_ni/file.php/1/Book-CeramicTest/physic-chapter3.html. [Accessed: Feb. 15, 2015].
- [28] วิลเลียมส์ ดี, คาลิสเตอร์. เจ อาร์, “*สมบัติทางกลของโลหะ: วัสดุศาสตร์และวิศวกรรมวัสดุพื้นฐาน*,” กรุงเทพฯ: สำนักพิมพ์ท้อป จำกัด, 2548.

- [29] ALFA Testing Equipment “*Compression Tester*,” [Online] Available: <http://www.alfalab.eu/alfa/news/05.html>. [Accessed: Feb. 15, 2015].
- [30] T. Sawai et al., “Compressive Strength Properties of Bio-Solid Fuel made form Pruned Branch,” *Journal of High Temperature Society*, vol. 36, no.1 , pp. 36-40, May, 2011.
- [31] S. Mizuno et al., “Formation Characteristics of High-density and High-hardness New Briquette Based on Herby biomass,” *Journal of Japan Institute of Technology*, vol. 31, no. 1, pp. 41-47, February, 2011.
- [32] S. Mizuno et al., “A Study of Physical Properties of High-Density Solid Biomass, Bio-coke, with Unutilized Biomass,” *Journal of Japan society of Mechanical Engineers*, vol. 11, no. Special Issue, pp. s19-s24, February, 2012.
- [33] M. Fuchihada et al., “Influence of Production Condition of High Hardness Solid Fuel Made from Coffee Residues on the Combustion Property,” *Journal of Smart Processing*, vol. 2, no. 2, pp. 88-93, April, 2013.
- [34] Y. Torii et al., “Forming Characteristics of Bio-coke with a Mixture of Bamboo and Carbonized Japanese Cedar,” *Journal of Smart Processing.*, vol. 1, no. 2, pp. 63-70, January, 2013.
- [35] S. Mizuno et al., “Scale Effect of Compressive Strength Properties under High Temperature, for Green Tea Bio-coke,” *Journal of the Japanese Society for Experimental Mechanics*, vol. 13, no. 2, pp. 190-193, December, 2013.
- [36] Ingeo Trade Company, “*Concrete Compression Machine*,” [Online] Available: www.ingeo-trade.com. [Accessed: Aug. 19, 2015]

ภาคผนวก
ผลงานตีพิมพ์

ผลงานตีพิมพ์ในวารสารวิชาการระดับชาติ

- [1] J. Chaichanawong, S. Cherdkeattikul, P. Supachutikul, "Effect of Particle Size on Properties of Biocoke from Used Coffee Ground," *TNI Journal of Engineering and Information Technology*, vol. 3, no. 2, pp. 44-47, July-December 2015.

ผลงานตีพิมพ์ในรายงานสืบเนื่องจากการประชุมวิชาการระดับชาติและระดับนานาชาติ

- [1] S. Cherdkeattikul, K. Nantasaksiri, P. Saisermsak, J. Chaichanawong, "Effects of Forming Temperature on Biocoke Properties from Used Coffee Ground," *Proceedings of the 6th TSME International Conference on Mechanical Engineering, TSME-ICoME 2015*, Petchaburi, Thailand, December 16-18, 2015.
- [2] S. Cherdkeattikul, K. Nantasaksiri, P. Saisermsak, J. Chaichanawong, "Influence of Forming Pressure on Properties of Biocoke from Used Coffee Ground," *Proceedings of the 4th Joint Conference on Renewable Energy and Nanotechnology, JCREN 2015*, Matsuyama, Japan, December 5-7, 2015.
- [3] J. Chaichanawong, S. Cherdkeattikul, P. Supachutikul, "Preparation of Biocoke from Coffee Grounds," *Proceedings of the International Conference on Advanced Technology in Experimental Mechanics, ATEM'15*, Toyohashi, Japan, October 6-8, 2015.
- [4] J. Chaichanawong, S. Cherdkeattikul, P. Supachutikul, S. Burapornpong, M. Fakkao, T. Ida, "Production of biocoke from biomass resources in Thailand," *Proceedings of the 5th International Conference on the Characterization and Control of Interfaces for High Quality, ICCCI 2015*, Kurashiki, Japan, July 7-10, 2015.
- [5] สุพิชญा เข็ดเกียรติกุล, ปั่นทิพย์ ศุภชุติกุล, จินตวัฒน์ ไชยชนวงศ์, "ผลกระทบของขนาดอนุภาค ของถ่านชีวภาพจากการก่อฟองต่อสมบัติของถ่านชีวภาพจากการก่อฟอง," *The 3rd National Interdisciplinary Academic Conference, TNIAc 2015*, กรุงเทพฯ, 15 พฤษภาคม 2558.